

Cours LISA

MOSA AIVT

H. Halloin
07.01.2021

 Flot AIVT

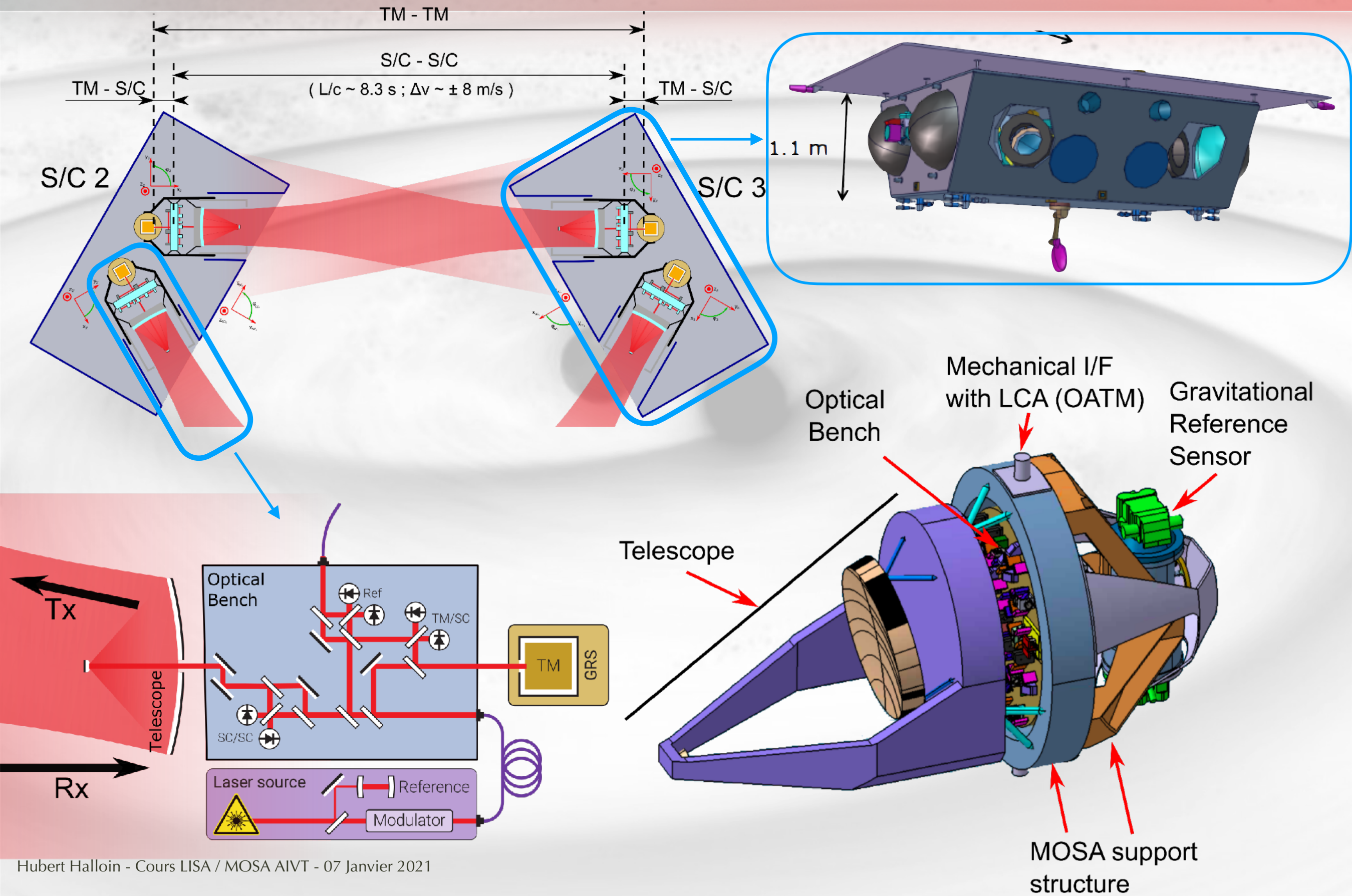
 Bancs de tests optiques

 Prototypage bancs AIVT, MIFO/ZIFO

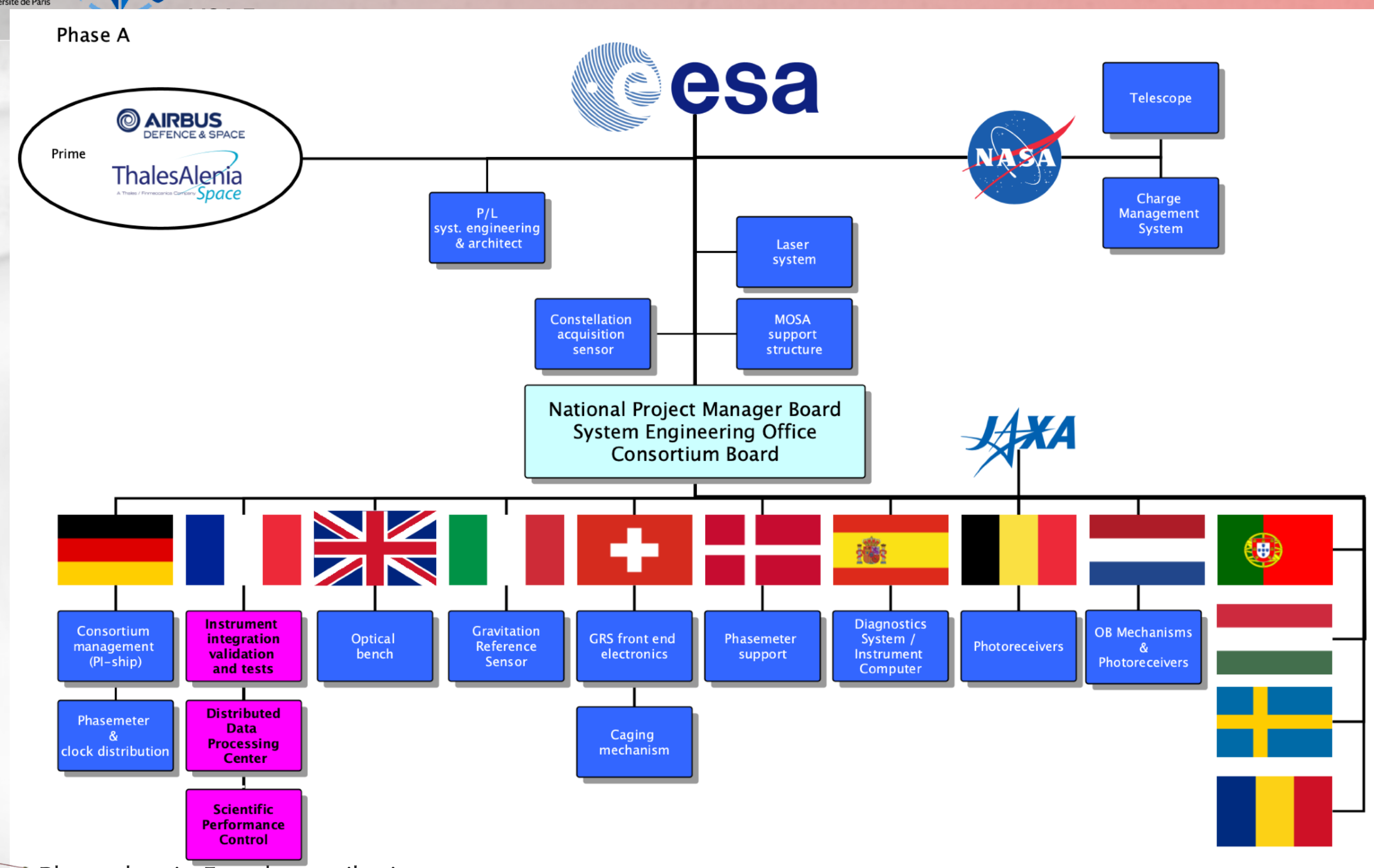
 Discussions

Flot AIVT

LISA instrument



What contribution for France ?



❖ Planned main French contributions

Distributed Data Processing Center
MOSA AIVT & Perf. Control

Assembly, Integration, Validation and Tests

• LISA will be the first instrument of its kind

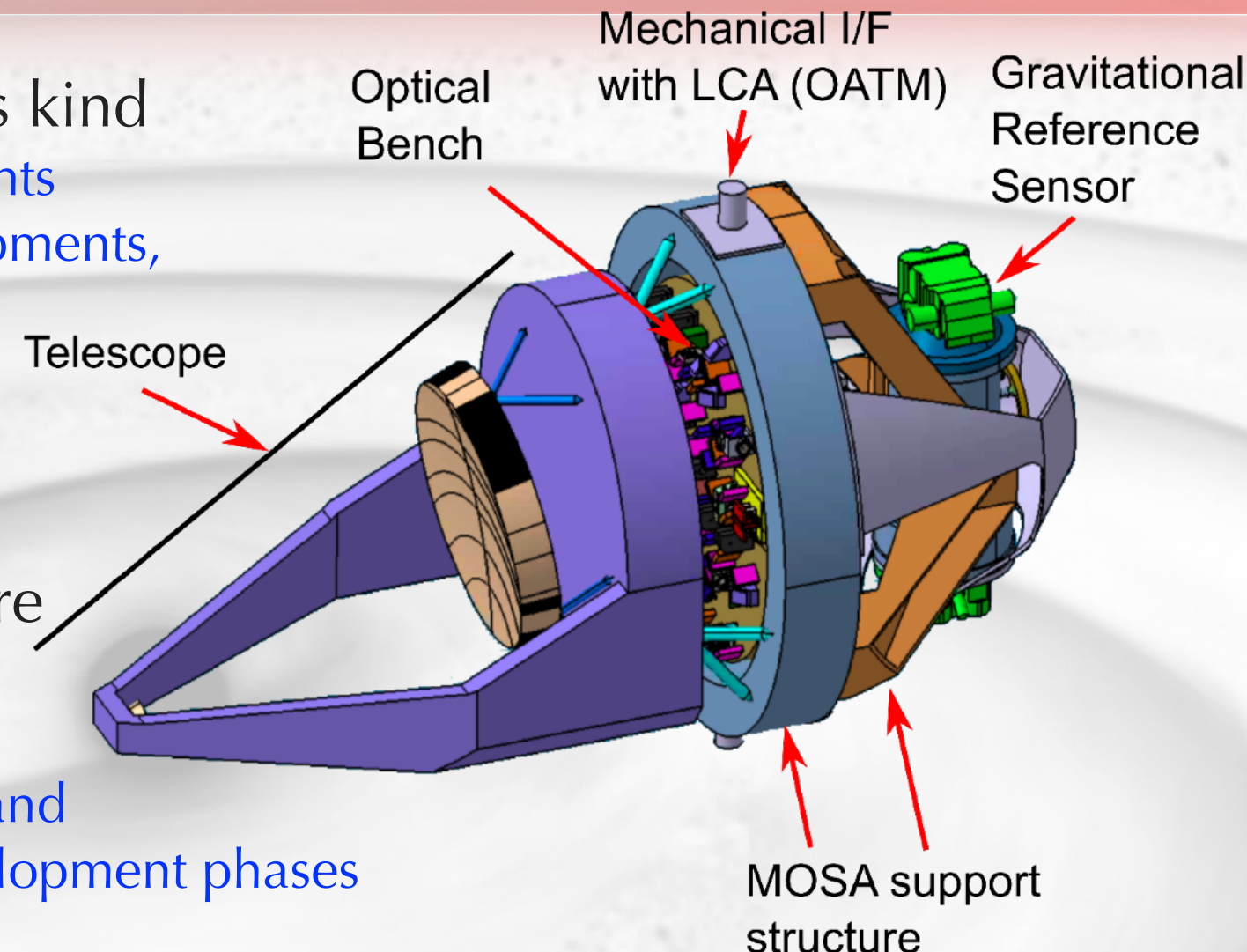
- Not a collection of separate instruments
- Combination of finely designed equipments, forming a Mkm-scale instrument

• LISA science return depends on the in-depth performance characterisation of the metrology core

- Importance of the AIVT and scientific performance modelling
- Crucial activity giving high visibility and involvement in early instrument development phases

• Integration and tests in close collaboration with industries

- 10 MOSAs to integrate and validate (1 STM, 1 EQM, 1 PFM, 5 FMs, 2 spares)
- Research institutes : development of optical metrology test benches and strong involvement in the EQM characterisation
 - Experience on MOSA testing transferred to industry with PFM
- Industries : integration procedures and semi-serialisation of FMs & spares AIVT
 - The research institutes still follow the process and interpret the measurements

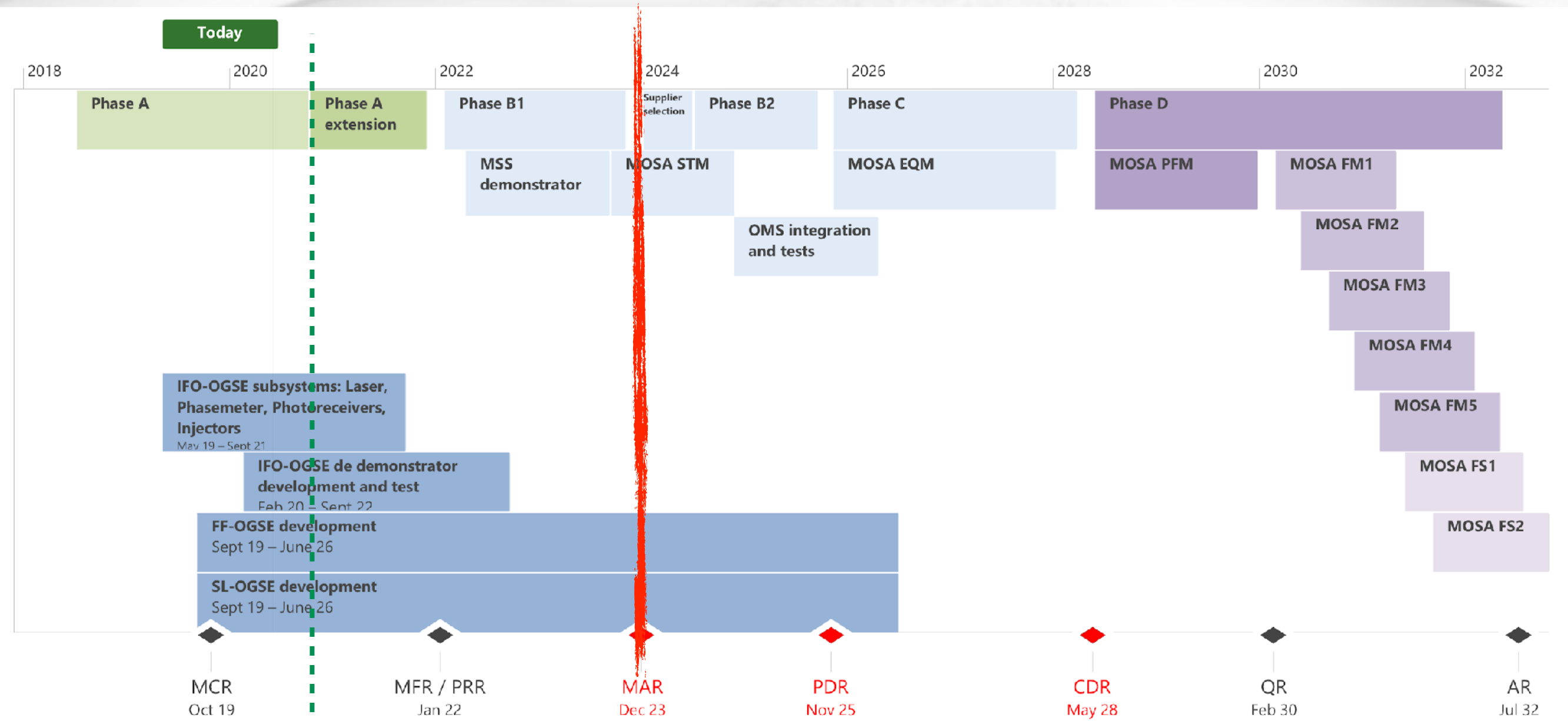


Proposition de plan AIVT MOSA

Doc de référence : LISA-LFRA-INST-TP-001

4 phases

- STM (Structural and Thermal Model) —> validation mécanique & thermique
- EQM (Engineering and Qualification Model) —> validation fonctionnelle et perfos complète + qualification spatiale
- PFM (Proto-Flight Model) —> Mises à jour mineures et re-qualification (si besoin)
- 5xFM (Flight Model) + 2xFS (Flight Spares) —> Modèles de vol + redondants (MOSA gauche & droit), tests d'acceptance



Proposition de plan AIVT MOSA

Hypothèses et contraintes

-  Flot d'intégration 'générique' indépendant (pour l'instant) de l'architecture finale retenue pour le MOSA
 -  Pendant l'extension de Phase A : architecture MOSA sous responsabilité ESA et travaux concurrents Thales / Airbus
-  Limité au MOSA, il y a d'autres phases AIVT en amont et en aval :
 -  Amont : Sous-systèmes (OB, GRS, Mécanismes, Photorécepteurs, etc), Tests OMS (Optical Metrology System)
 -  Aval : LCA (LISA Core Assembly : Montage des deux MOSA ensemble), Satellite, etc
-  Avionique Instrument (i.e. boitiers de contrôle + lasers) intégrés et testés séparément
 -  Pas inclus dans le MOSA
 -  Utilisation de GSEs (Ground Supports Equipments) pour l'AIVT MOSA
-  Rôle central de l'EQM dans la validation des performances et qualification instrument
 -  Campagne de tests extensive au niveau EQM
 -  Tests de validation et d'acceptance uniquement au niveau (P)FM/FS
-  Intégration quasi-parallèle des MOSAs FMs
 -  Nécessaire pour respecter les délais de production
 -  Contraintes : éviter la duplication des GSEs et infrastructures complexes, grouper les différents tests au même endroit autant que possible

Défis

-  Capacité de valider les performances MOSA au niveau de stabilité requis
 -  Action en cours (MIFO/ZIFO + TTL-OB) pour valider le savoir-faire technique et les performances attirables en environnement représentatif
 -  Etudes de définition et dimensionnement en cours pour les GSEs optiques
-  Besoin d'un 'agrandisseur de faisceau' pour illuminer le MOSA (Far-Field Simulator)
 -  Hypothèse actuelle d'utilisation du modèle d'ingénierie NASA du télescope MOSA (→ A confirmer !)
-  Production rapide et 'à la chaîne' des 5 FMs + 2 FS
 -  Collaboration étroite requise entre CNES, labos (définition et supervision des tests de performance) et industriels (infrastructure d'intégration et serialisation)
-  Liens étroits avec l'architecture et ingénierie système MOSA
 -  Interactions amont (sous-systèmes) et aval (instrument et S/C)
 -  Validation des exigences techniques et performances scientifiques
 -  Retours d'expérience (LPF, AIVT des sous-systèmes, etc)
 -  Coordination dans la fourniture des GSEs de validation des sous-systèmes

 Grandes catégories de tests

 Leur contenu et étendu peut dépendre du modèle (EQM, FM, etc.)

Matrice de test 'système'

MOSA Test matrix	STM	EQM	PFM	FM & FS
Physical properties				
Mass, dimensions, I/F	x	x	x	x
CoG	x	x	x	x
Inertias	x	x	x	x
Fit check	x	x	x	x
Self-gravity measurement tests		x	x	x
Mechanical tests				
QSL	x ⁽¹⁾	x ⁽¹⁾	x ⁽¹⁾	
Sine	x ⁽¹⁾	x ⁽¹⁾	x ⁽¹⁾	
Acoustic/Random	x ⁽¹⁾	x ⁽¹⁾	x ⁽¹⁾	x ⁽¹⁾
Shock ⁽²⁾	x	x		
Microvibration Transfer Function	Covered by upper system level if necessary (TBC)			
Electrical/EMC tests				
Integration checks		x	x	x
Electrical test (power consumption, timing...)		x	x	x
Conducted EMC test		x	x ⁽³⁾	
Radiated EMC test	Covered by upper system level			
Self-compatibility test	Covered by upper system level			
Magnetic test		x	x	x
Thermal tests				
Thermal Vacuum Test	x ⁽⁴⁾	x ⁽⁴⁾	x ⁽⁴⁾	x ⁽⁴⁾
Thermal Balance Test	x	x	x ⁽⁵⁾	
Functional & performance tests⁽⁶⁾				
Functional & performance test		x	x	x
Optical alignment test		x	x	x
Health Check Test		x	x	x
Mechanism release test ⁽⁷⁾	TBD	TBD	TBD	TBD

Table 1: System test matrix

Phases AIT par modèle

 STM : modèle représentatif de la conception mécanique et thermique

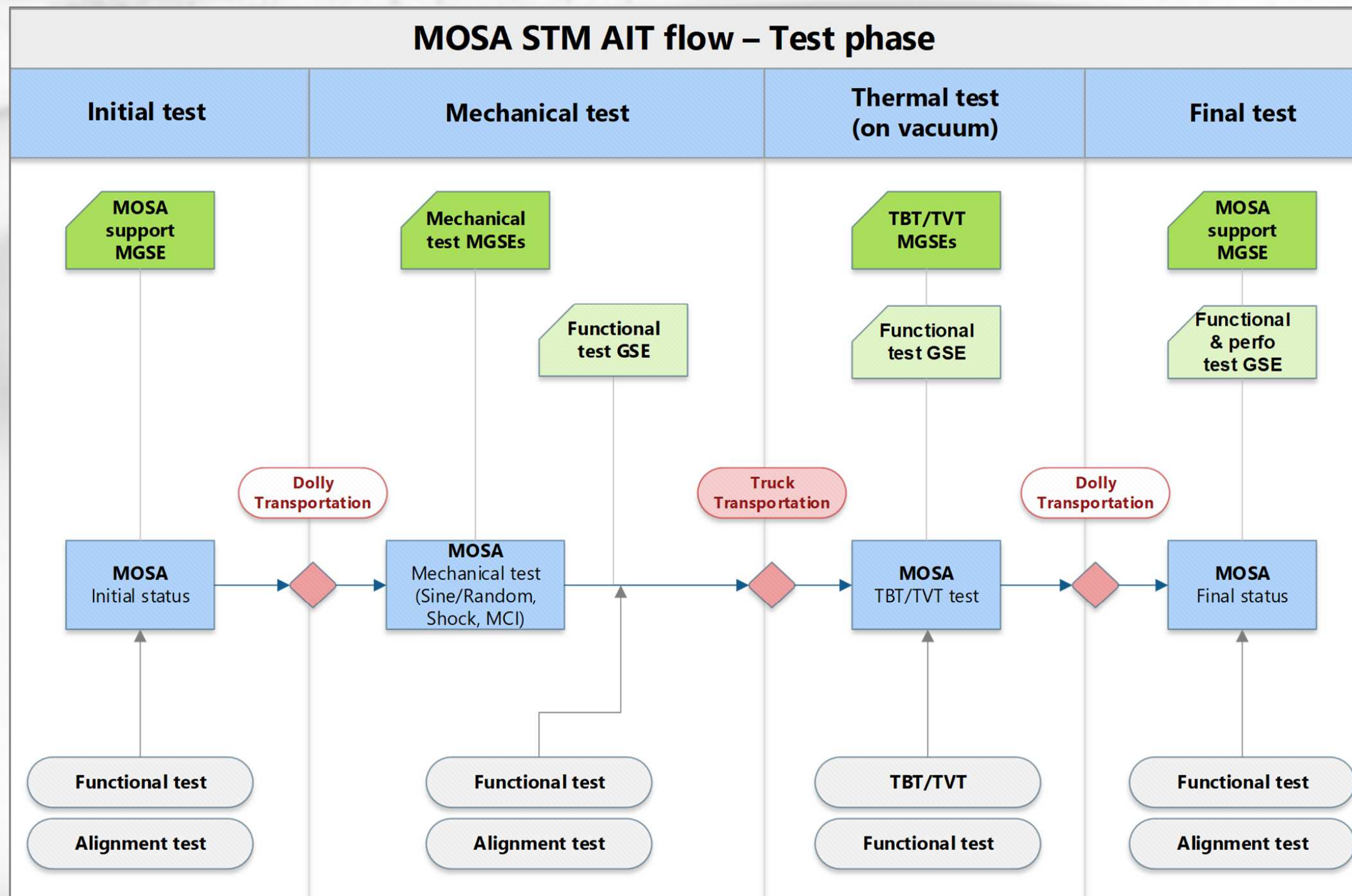
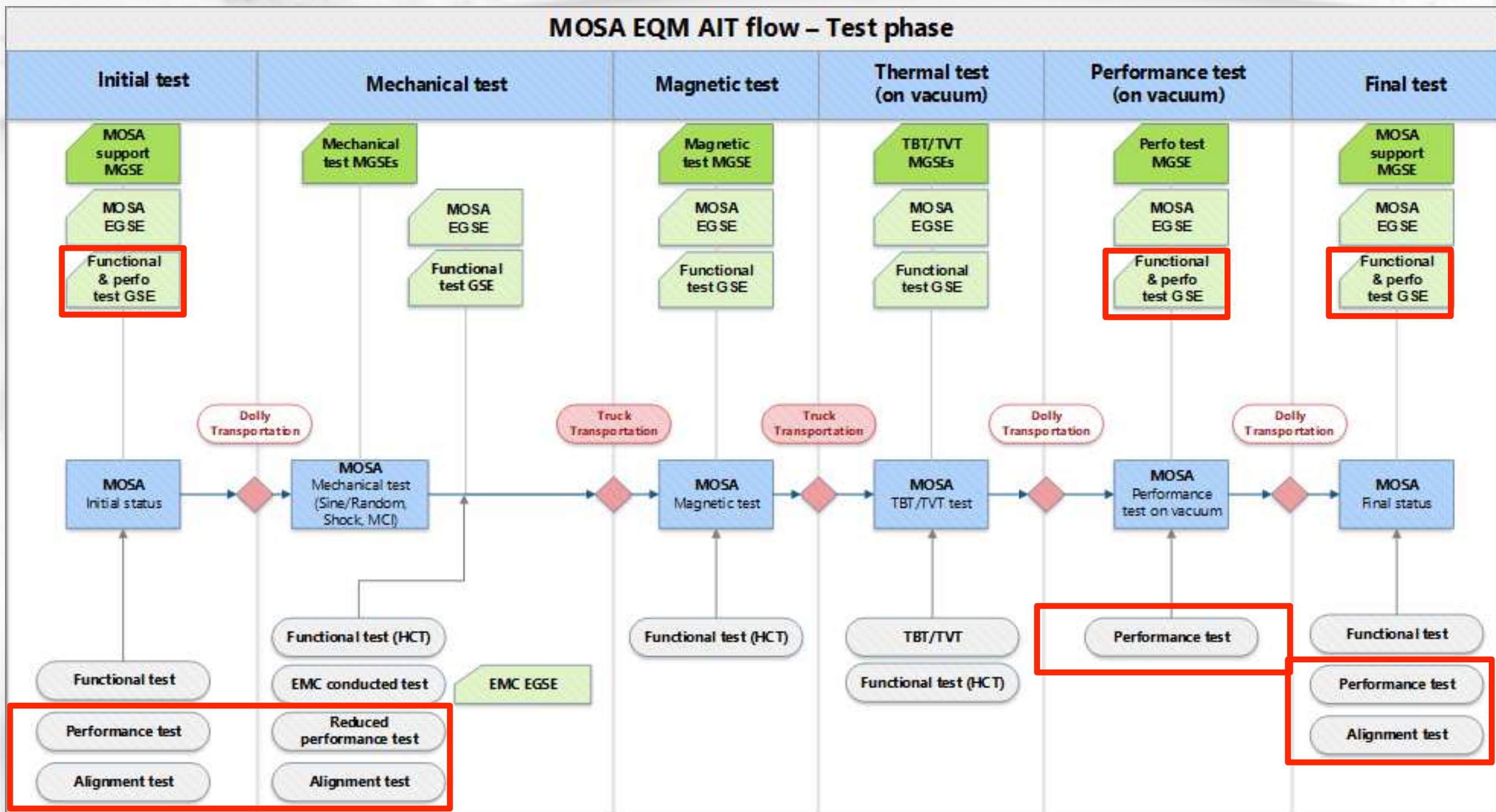


Figure 4: MOSA STM test phase

Phases AIT par modèle

EQM : modèle représentatif de l'architecture complète, fonctionnalités, performances et compatibilité spatiale



Phases AIT par modèle

 (P)FM/FS : modèles de vol, besoin de tests d'acceptance et de calibration

MOSA FM & FS AIT flow – Test phase

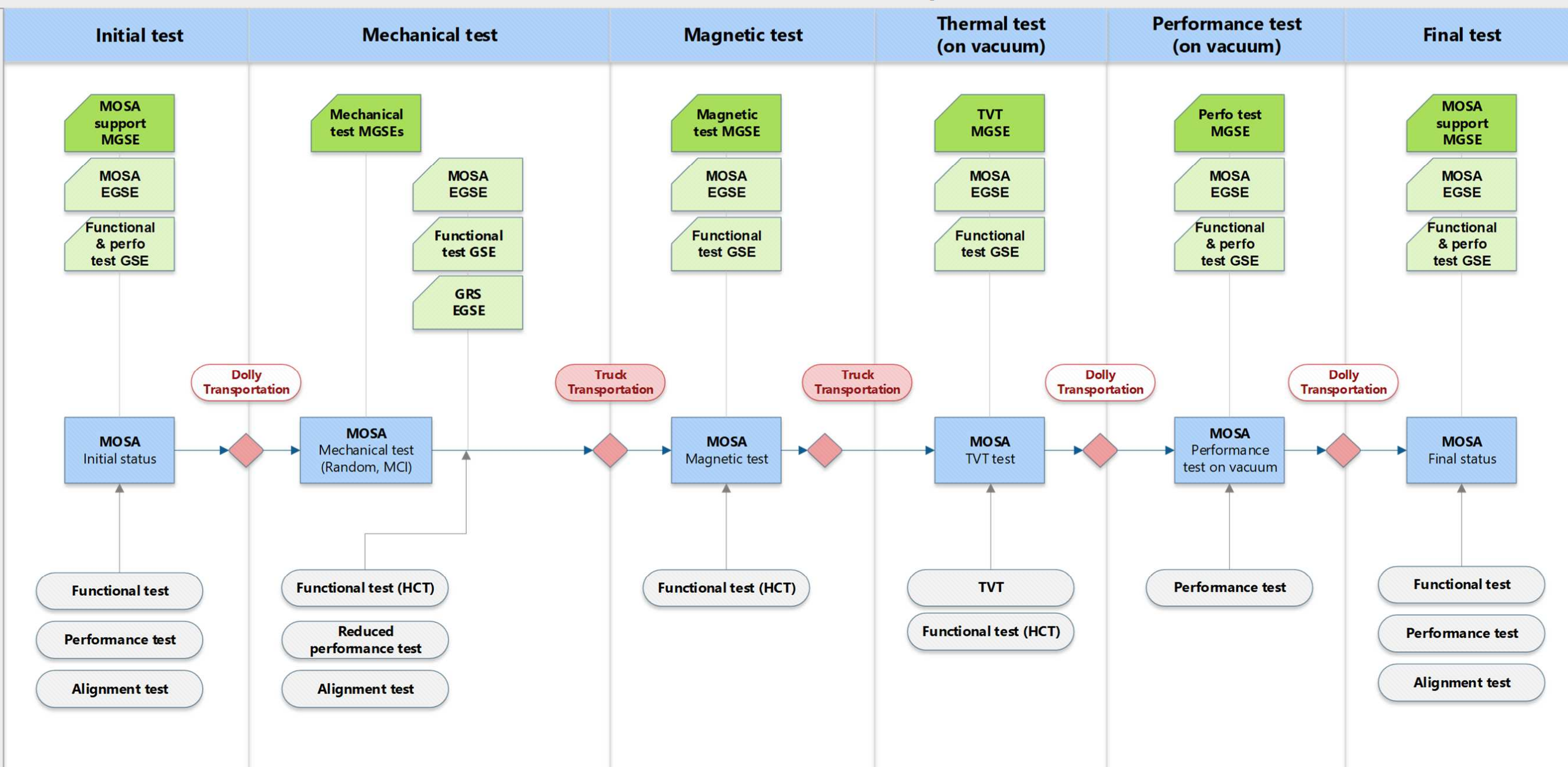


Figure 8: MOSA PFM/FM/FS test phase

Bancs de tests optiques

Test fonctionnel: DFT

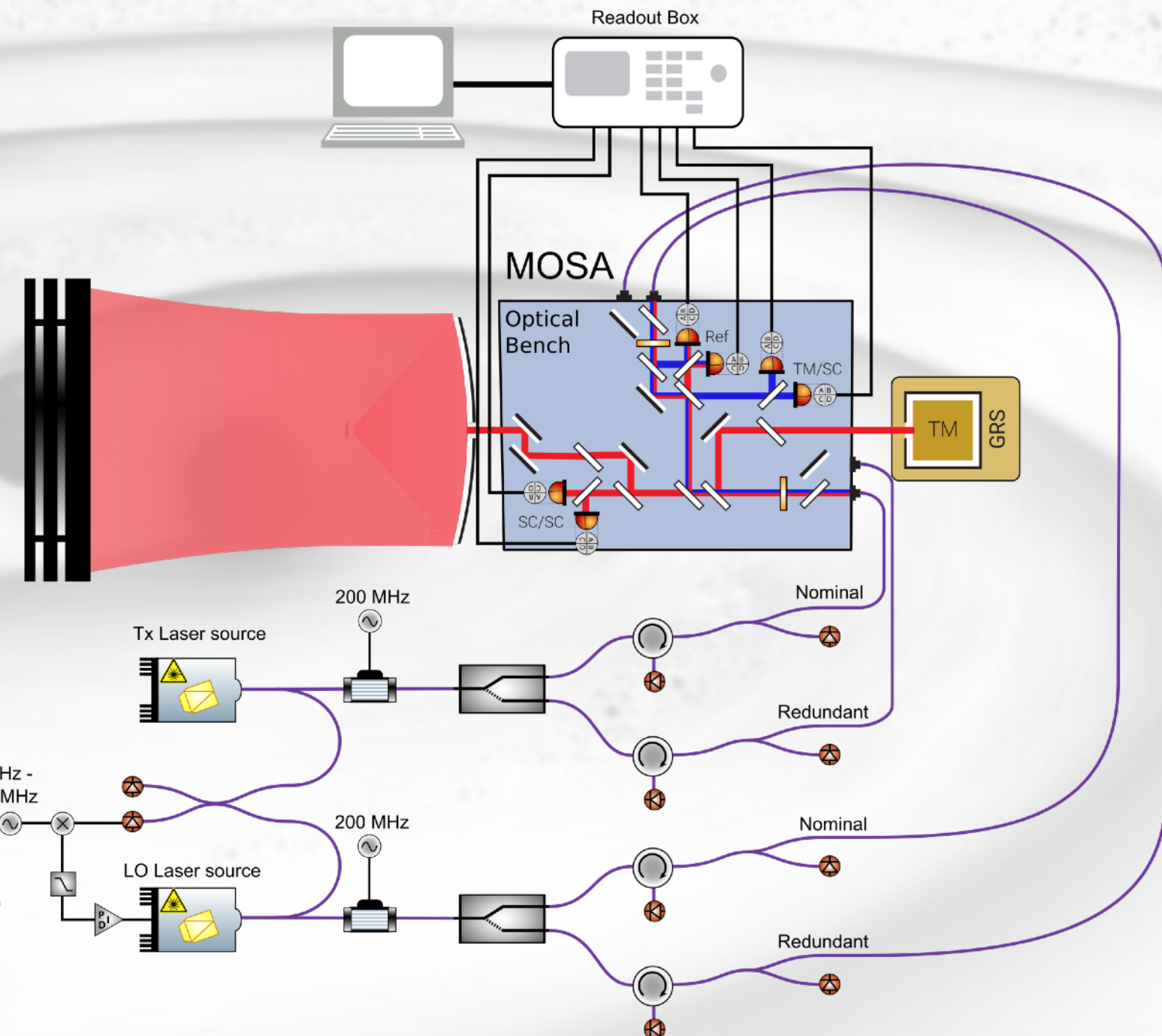
• DFT : Detection Functional Test

• Objectifs :

- Vérification régulière des alignements internes du banc optique
- Validation des chaines d'acquisition AC et DC des photorécepteurs tous les IFOs
- Intégrité des fibres et des chemins optiques
- Similaire aux tests 'de bonne santé' effectués pendant l'AIWT OB

• Fonctionnalités

- Puissance fixe pour mesures de centrage sur les QPD
 - Comparaison aux mesures antérieures
- Modulations d'amplitude \sim kHz (voies DC) et \sim MHz (voies AC)
- Signal hétérodyne pour IFO Ref (et TM avec un modèle optique de GRS)
- Tests FSU (Fiber Switch Units) et isolation de polarisation
- Pertes et retours optiques, ...



Test fonctionnel: DFT

• DFT : Detection Functional Test

• Objectifs :

- Vérification régulière des alignements internes du banc optique
- Validation des chaines d'acquisition AC et DC des photorécepteurs tous les IFOs
- Intégrité des fibres et des chemins optiques
- Similaire aux tests 'de bonne santé' effectués pendant l'AIVT OB

• Fonctionnalités

- Puissance fixe pour mesures de centrage sur les QPD
 - Comparaison aux mesures antérieures
- Modulations d'amplitude \sim kHz (voies DC) et \sim MHz (voies AC)
- Signal hétérodyne pour IFO Ref (et TM avec un modèle optique de GRS)
- Tests FSU (Fiber Switch Units) et isolation de polarisation
- Pertes et retours optiques, ...

• Pas de difficulté de conception optique particulière (a priori)

• Besoins liés à l'utilisation fréquence comme outil de diagnostics

• Fonctionnement (semi-)automatique, déroulé des différentes configuration de test

• Facile et rapide à mettre en oeuvre

• Identification rapide (automatique ?) des anomalies

→ Conception robuste et 'User Friendly'

→ Interface de contrôle/commande évoluée.

Tests de performance : BWA

• BWA : Beam Wavefront Analysis

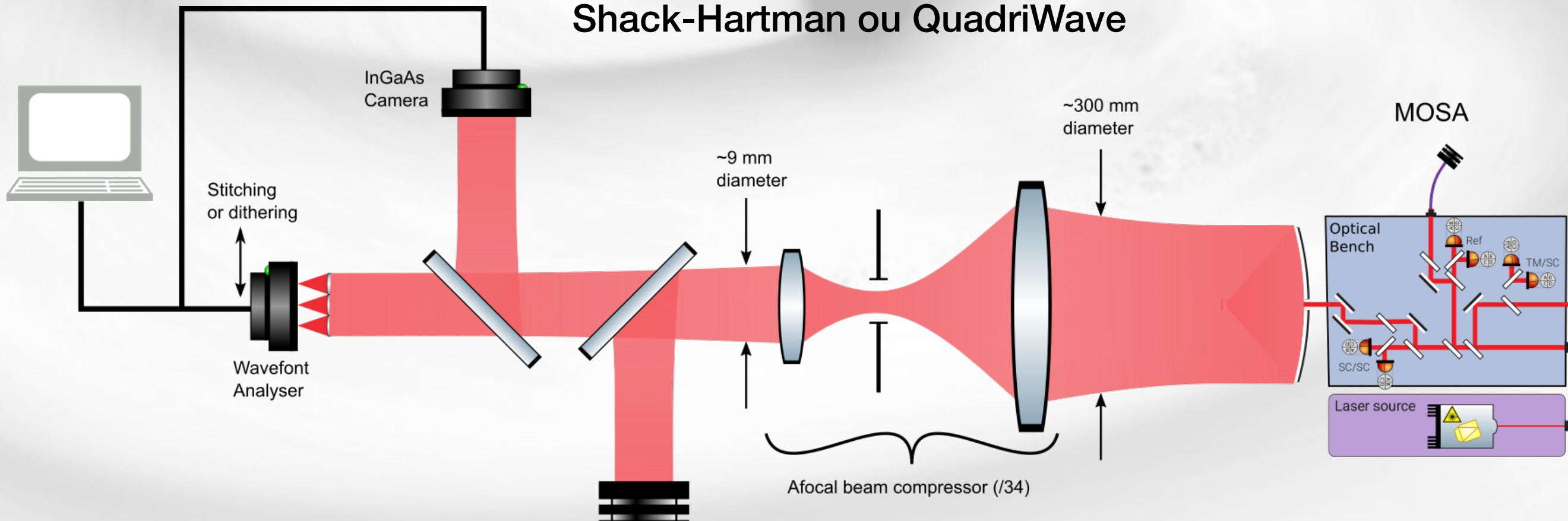
• Objectifs :

- caractériser le front d'onde + carte d'intensité émis par le MOSA
- vérifier la conformité à $\lambda/20$ RMS

• Outils :

- Analyseurs de faisceau
 - Shack-Hartman, Quadriwave —> commercial, performances marginalement OK
 - ZIGO —> très performant mais uniquement rien réflexion (donc pas pour le MOSA mais potentiellement pour des éléments optiques du GSE)
 - Hétérodyne —> prometteur et proche des autres techniques LISA (retour d'expérience !), à développer soi-même...
- Compresseur de faisceau
 - Specs plus simples que le telescope LISA
- Mécanique, contrôle/commande, etc

Shack-Hartman ou QuadriWave



Tests de performance : BWA

• BWA : Beam Wavefront Analysis

• Objectifs :

- caractériser le front d'onde + carte d'intensité émis par le MOSA
- vérifier la conformité à $\lambda/20$ RMS

• Outils :

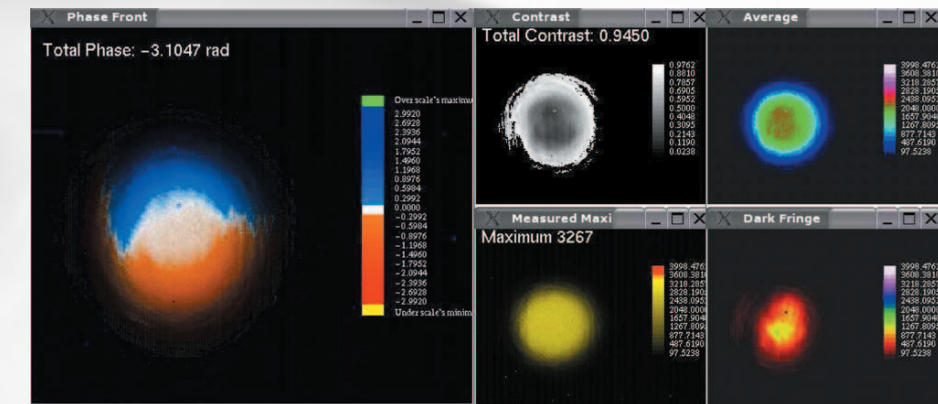
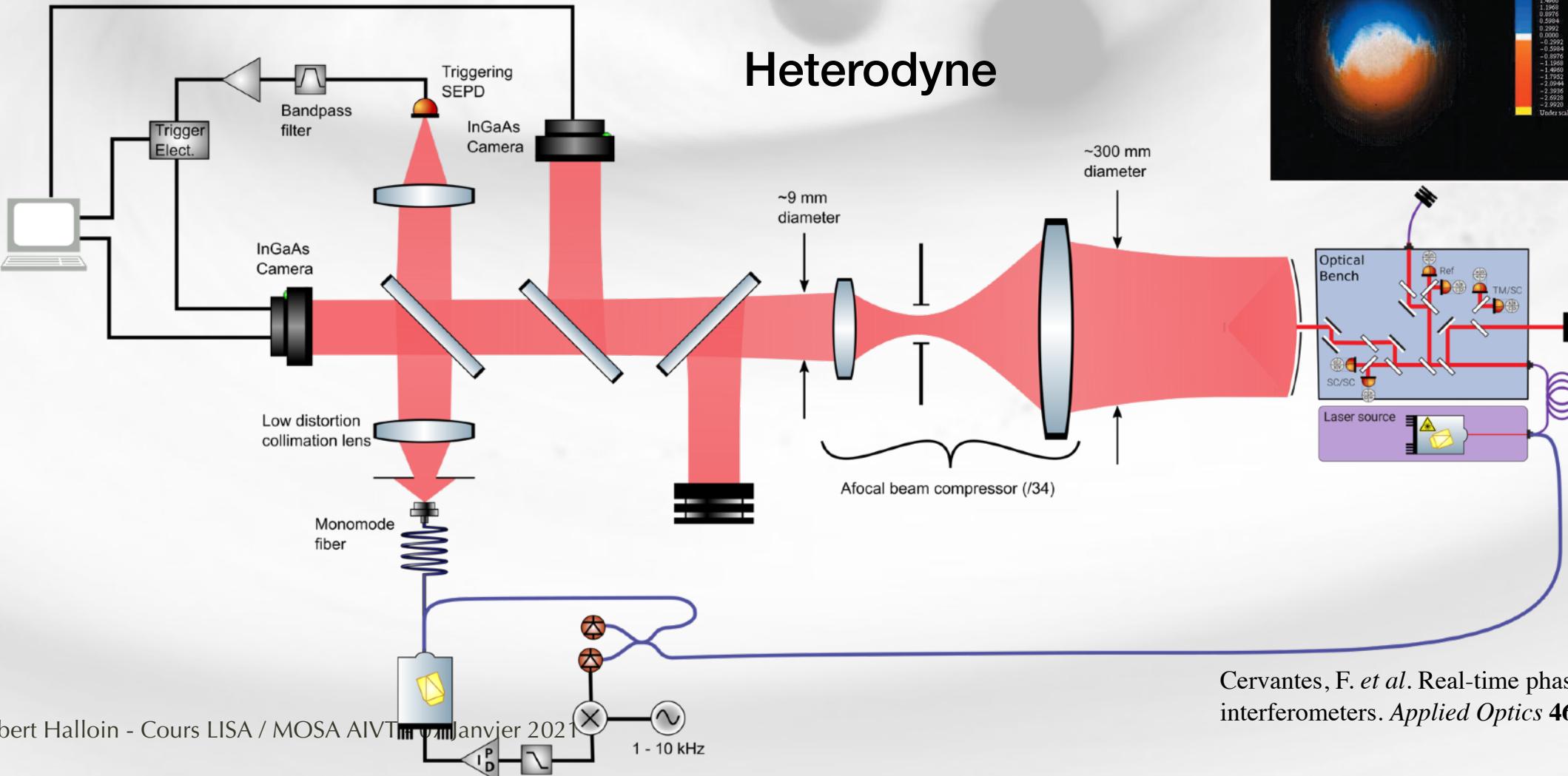
• Analyseurs de faisceau

- Shack-Hartman, Quadriwave → commercial, performances marginalement OK
- ZIGO → très performant mais uniquement rien réflexion (donc pas pour le MOSA mais potentiellement pour des éléments optiques du GSE)
- Hétérodyne → prometteur et proche des autres techniques LISA (retour d'expérience !), à développer soi-même...

• Compresseur de faisceau

- Specs plus simples que le telescope LISA

• Mécanique, contrôle/commande, etc



Cervantes, F. et al. Real-time phase-front detector for heterodyne interferometers. *Applied Optics* **46**, 4541–4548 (2007).

Tests de performance : BWA

• BWA : Beam Wavefront Analysis

• Objectifs :

- caractériser le front d'onde + carte d'intensité émis par le MOSA
- vérifier la conformité à $\lambda/20$ RMS

• Outils :

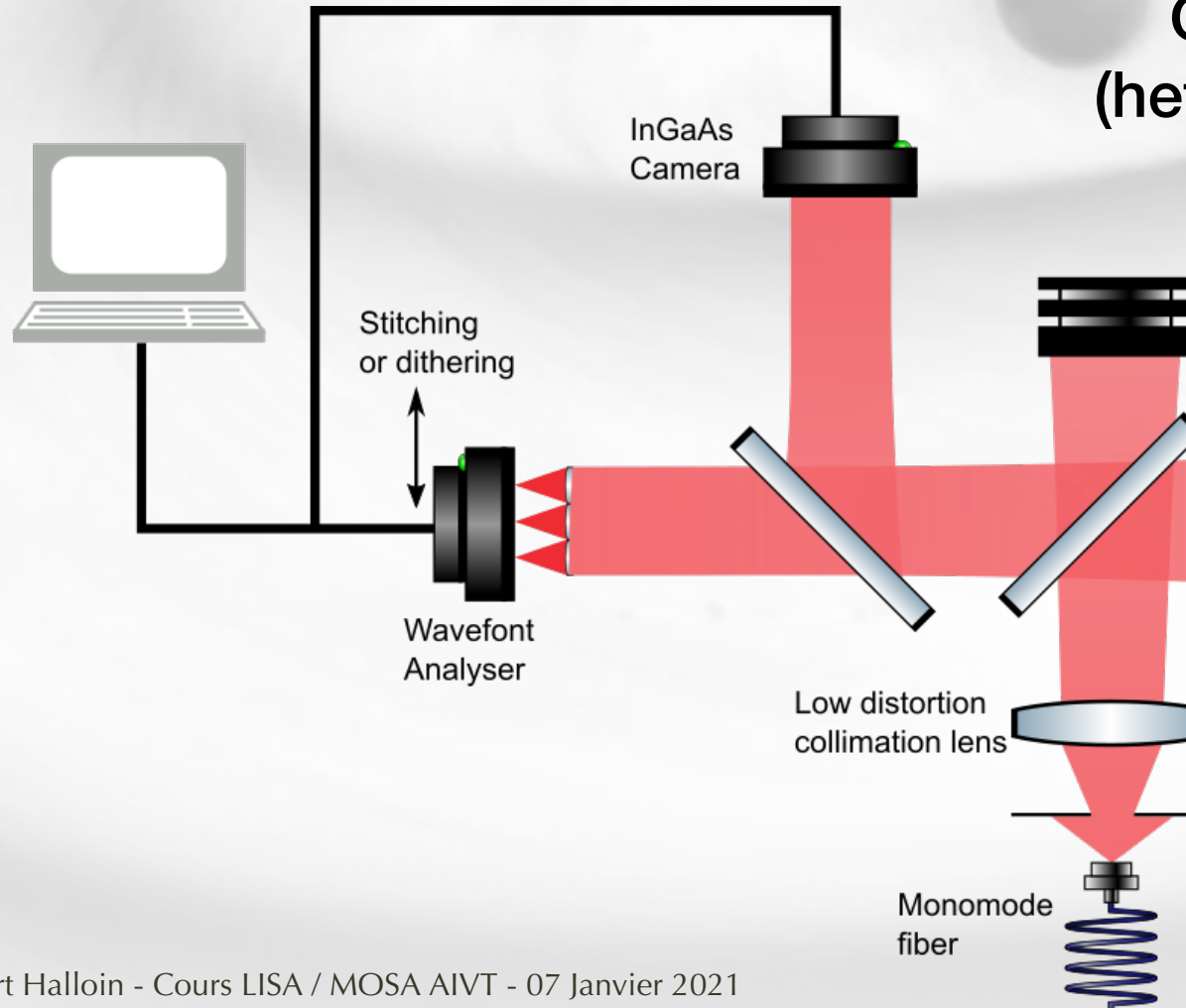
• Analyseurs de faisceau

- Shack-Hartman, Quadriwave → commercial, performances marginalement OK
- ZIGO → très performant mais uniquement rien réflexion (donc pas pour le MOSA mais potentiellement pour des éléments optiques du GSE)
- Hétérodyne → prometteur et proche des autres techniques LISA (retour d'expérience !), à développer soi-même...

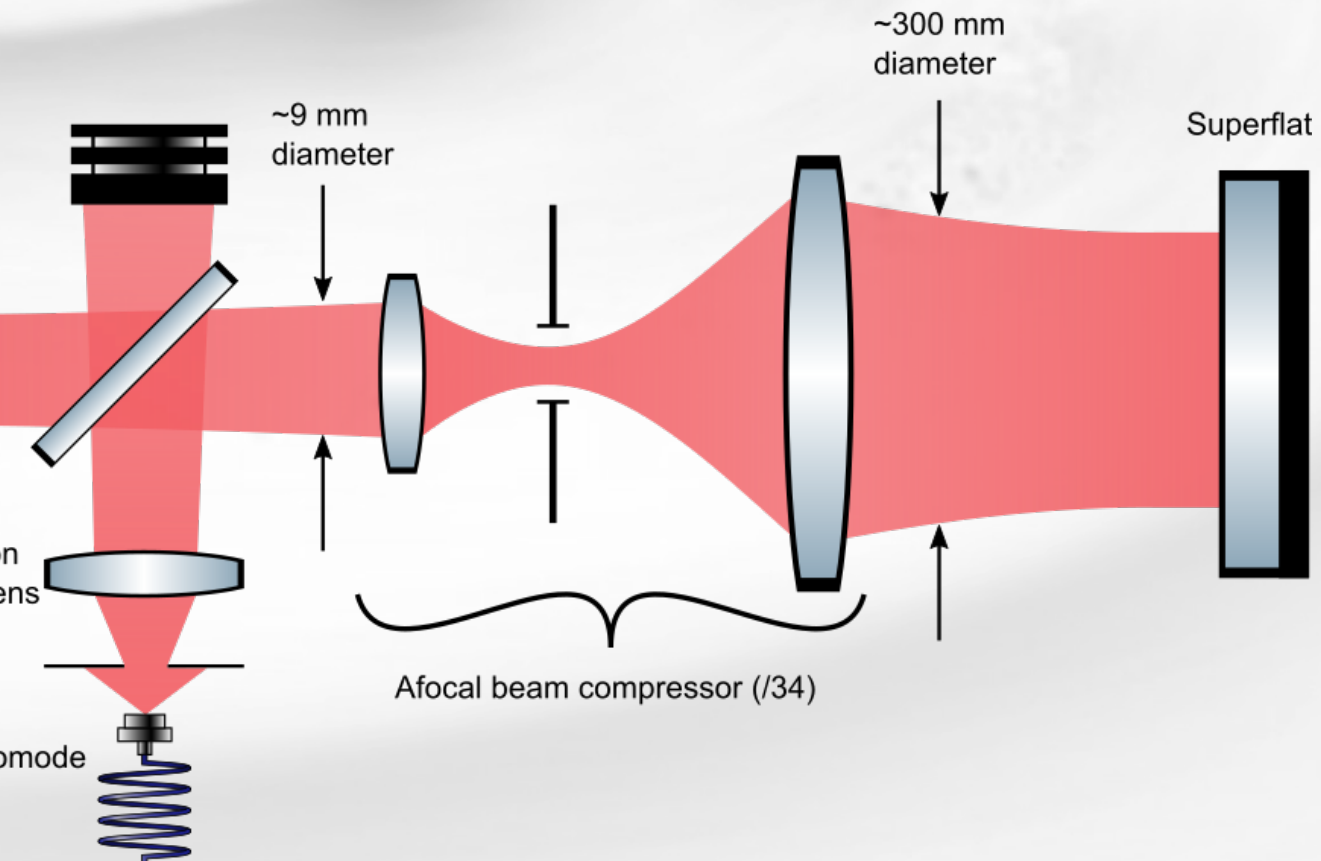
• Compresseur de faisceau

- Specs plus simples que le telescope LISA

• Mécanique, contrôle/commande, etc



**Calibration des biais de front d'onde
(heterodyne/Shack-Hartman/Quadriwave)**



Tests de performance : BWA

- BWA : Beam Wavefront Analysis

- Objectifs :

- caractériser le front d'onde + carte d'intensité émis par le MOSA
 - vérifier la conformité à $\lambda/20$ RMS

- Outils :

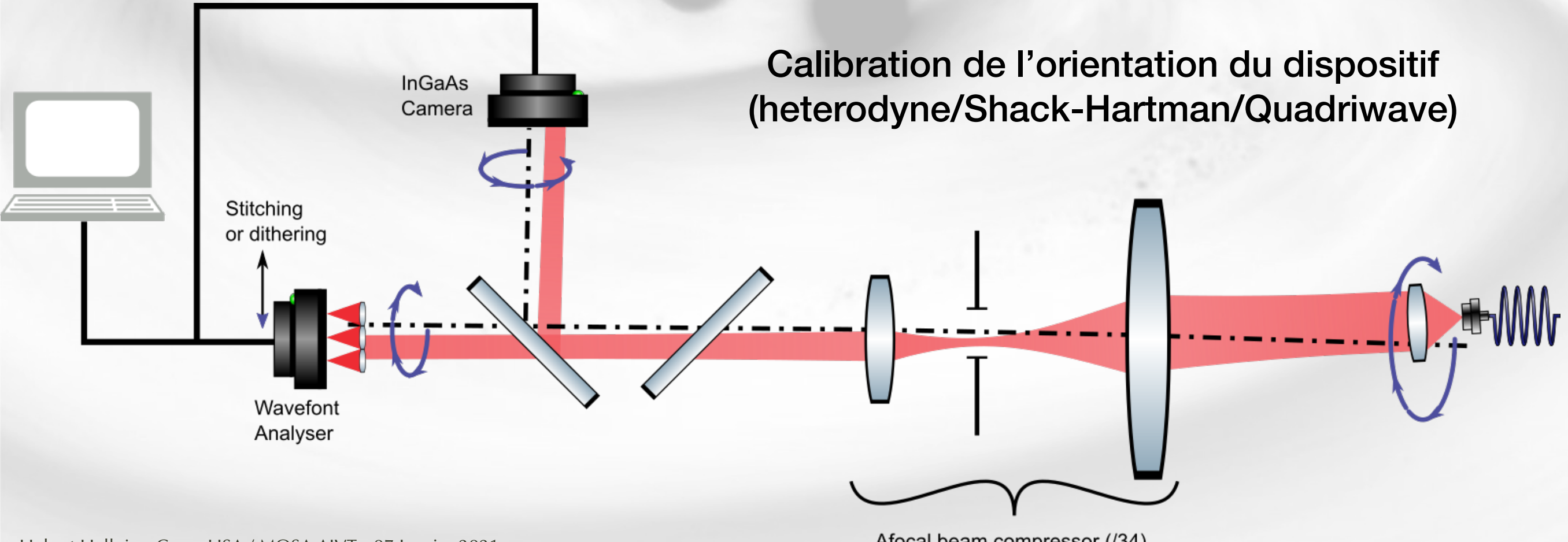
- Analyseurs de faisceau

- Shack-Hartman, Quadriwave → commercial, performances marginalement OK
 - ZIGO → très performant mais uniquement rien réflexion (donc pas pour le MOSA mais potentiellement pour des éléments optiques du GSE)
 - Hétérodyne → prometteur et proche des autres techniques LISA (retour d'expérience !), à développer soi-même...

- Compresseur de faisceau

- Specs plus simples que le telescope LISA

- Mécanique, contrôle/commande, etc



Tests de performance : BWA

• BWA : Beam Wavefront Analysis

• Objectifs :

- caractériser le front d'onde + carte d'intensité émis par le MOSA
- vérifier la conformité à $\lambda/20$ RMS

• Outils :

• Analyseurs de faisceau

- Shack-Hartman, Quadriwave —> commercial, performances marginalement OK
- ZIGO —> très performant mais uniquement rien réflexion (donc pas pour le MOSA mais potentiellement pour des éléments optiques du GSE)
- Hétérodyne —> prometteur et proche des autres techniques LISA (retour d'expérience !), à développer soi-même...

• Compresseur de faisceau

- Specs plus simples que le telescope LISA

• Mécanique, contrôle/commande, etc

• A faire ...

• Définition détaillée, modélisation optique, dimensionnement

- —> validation (ou non) des performances attendues, choix technologiques

• Prototypage ?

- En particulier si utilisation de l'option 'hétérodyne'

- Specs sur le compresseur de faisceau ? Disponibilité commerciale ?

• Combinaison possible avec d'autres bancs optiques ?

- BIM ? FF-OGSE ?

Tests de performance : BIM

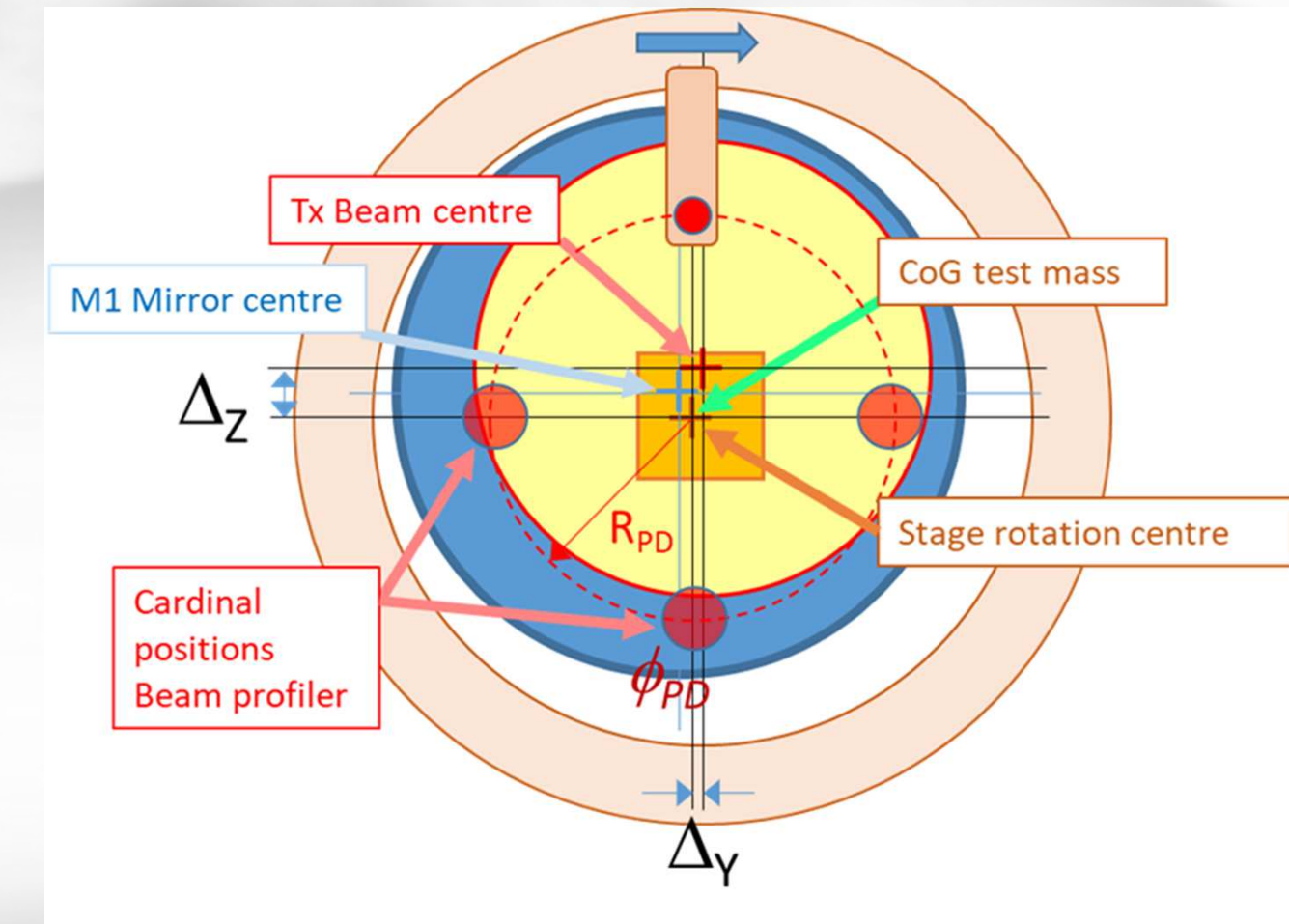
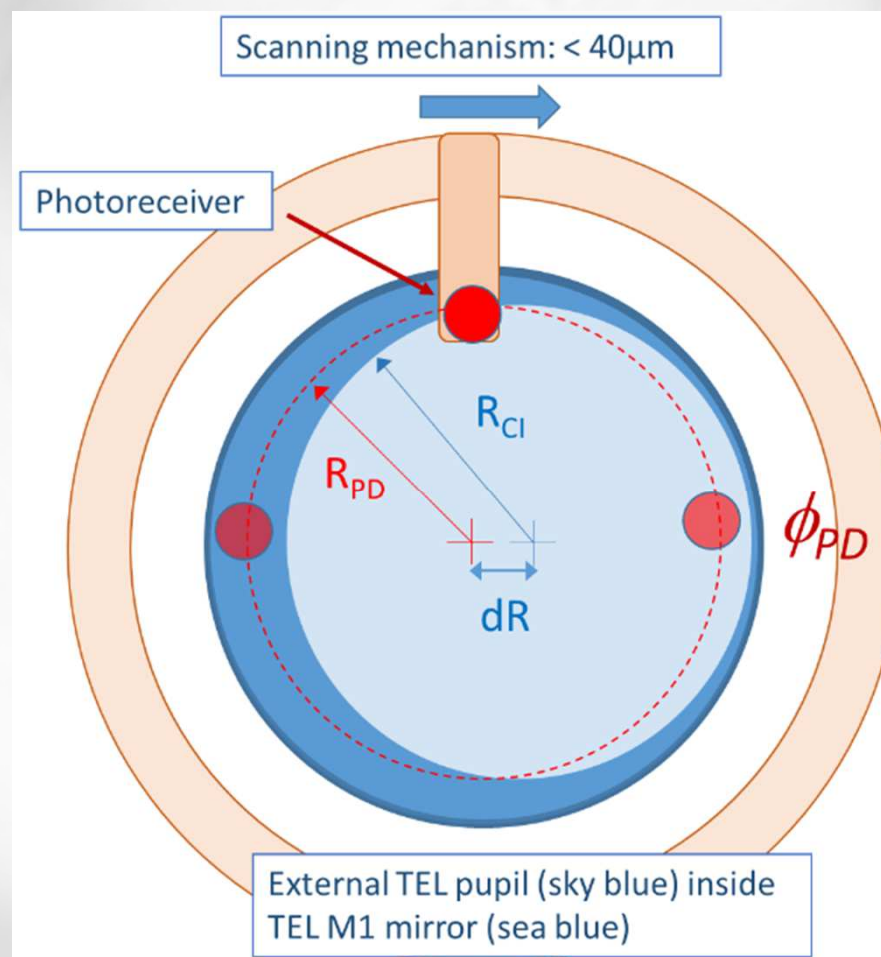
• BIM : Beam Intensity Measurement

• Objectifs :

- Mesure du centrage de la pupille externe telescope par rapport au référentiel mécanique externe (et donc la position théorique)

• Outils :

- Analyseur de faisceau
 - Profileur de faisceau / camera / photodiode
- Platine de rotation/translation de précision ($\sim \mu\text{m}$ precision)
- Mécanique, contrôle/commande, etc



Tests de performance : BIM

• BIM : Beam Intensity Measurement

• Objectifs :

- Mesure du centrage de la pupille externe telescope par rapport au référentiel mécanique externe (et donc la position théorique)

• Outils :

- Analyseur de faisceau
 - Profileur de faisceau / camera / photodiode
- Platine de rotation/translation de précision ($\sim \mu\text{m}$ precision)
- Mécanique, contrôle/commande, etc

• A faire

- Dimensionnement complet
- Modélisation optique (propagation et aberrations des faisceaux notamment)
- Bilans d'erreurs, performances attendues, etc
- → Travaux en cours par O. Grosjean

Test de performances : FF-OGSE

FF-OGSE : Far Field Optical Ground Support Equipment

Objectifs :

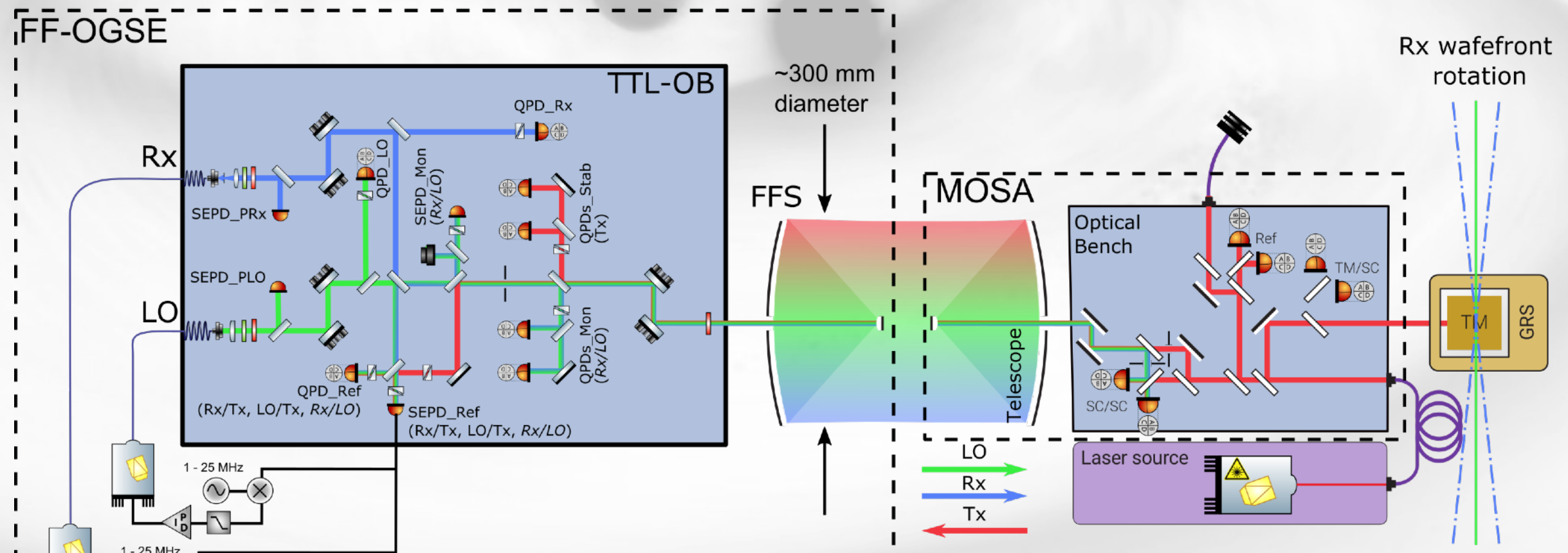
- Mesurer les coefficients Tilt-to-Length Rx suivant les 2 axes de pointage
- Permettre la détermination de la position ‘optimale’ des compensateurs de TTL (Active Aperture ou Beam Alignment)
- Annulation du TTL à ~0.5 mm/rad

Composants

- Banc de génération laser : production de faisceaux lasers hétérodynes
- TTL-OB : alignement et mise en forme des faisceaux
- FFS (Far Field Simulator) : agrandissement du faisceau

Defis techniques

- Maîtriser le TTL du banc de test en-dessous de 0.5 mm/rad (génération + mesure)
- Générer un ‘Flat Top’ avec la qualité requise, maîtriser le point de rotation du front d’onde (~50 µm lateral)
- Garantir la stabilité en phase et minimiser les mouvements relatifs MOSA / FF-OGSE (et FFS / TTL-OB)
- Ne pas générer et être peu sensible à la lumière parasite



Test de performances : FF-OGSE

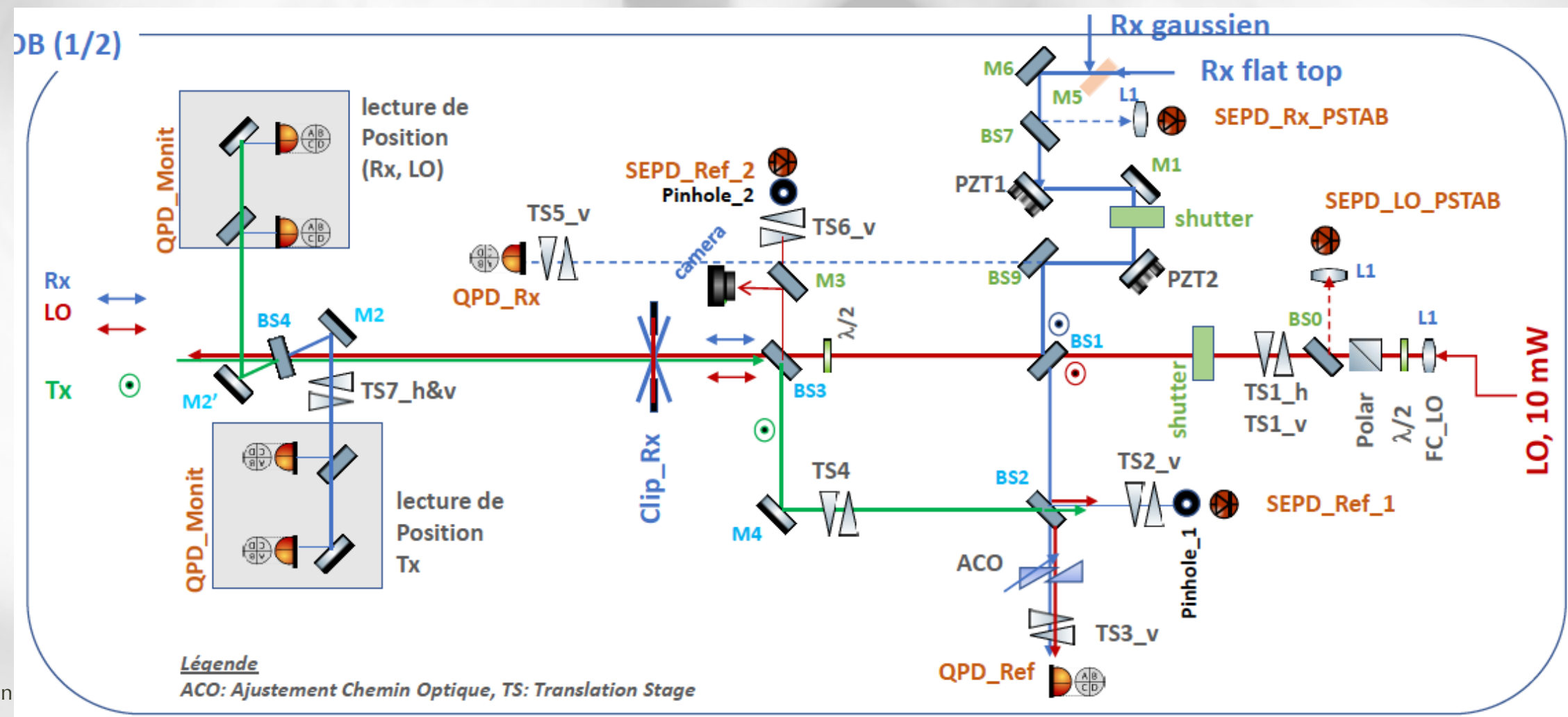
FF-OGSE : Far Field Optical Ground Support Equipment

Objectifs :

- Mesurer les coefficients Tilt-to-Length Rx suivant les 2 axes de pointage
- Permettre la détermination de la position 'optimale' des compensateurs de TTL (Active Aperture ou Beam Alignment)

A faire :

- Beaucoup de choses ...
- Consolider les spécifications
- Etudier les performances optiques du FFS (C. Buy & O. Grosjean)
- Prototypage du TTL-OB (F. Cleva)
- Modélisation des performances et méthodologie de mesure
- Intégration des différents éléments, spécifications mécaniques, procédures de validation du banc, combinaison avec d'autres OGSE nécessitant un FFS ?, etc
- ...



Test de performances : PERF_IFO1

Objectifs:

- Mesure de la stabilité relative (différentielle) entre Ref-IFO et TM-IFO
- Validation fonctionnelle des deux IFO, niveau de bruit de phase relatif
- Calibrations DWS : zero et bruit
- Nécessite un simulateur optique GRS pour certains tests
 - interfaces représentative + miroir pilotable à la place de la TM

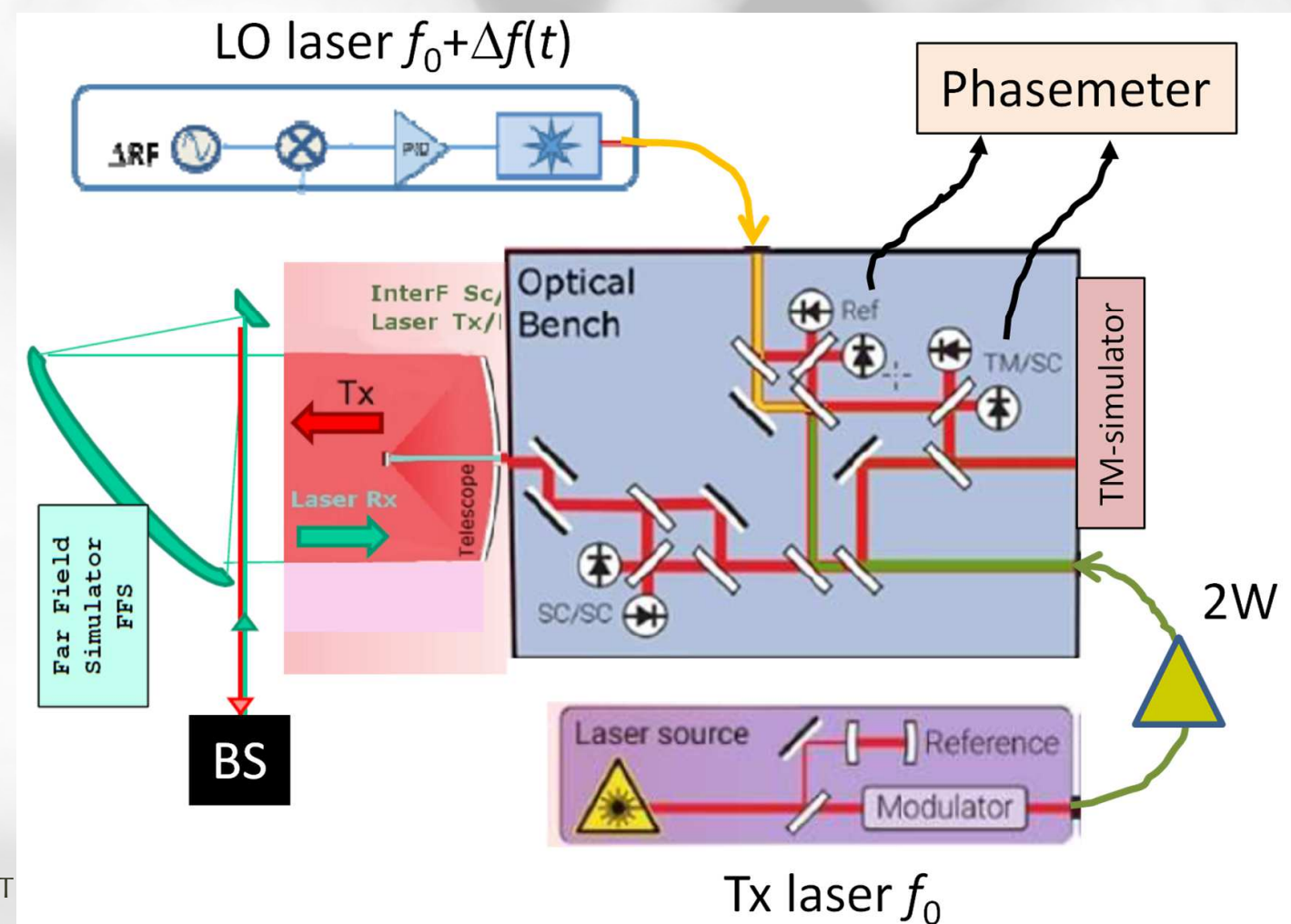
→ uniquement au niveau EQM

Défis techniques

- Absorption du faisceau Tx
- Environnement de test stable (en particulier température), sous vide

A faire

- Dimensionnement complet, évaluation des performances
 - En particulier en lien avec les équipes en charge du GRS
- Combinaison avec FF-OGSE en raison du FFS ?



Test de performances : PERF_IFO2

Objectifs:

- Mesure de la stabilité relative (différentielle) entre Ref-IFO et SC-IFO
- Egalement TM-IFO / SC-IFO avec simulateur optique GRS (phase EQM)
- Tests fonctionnels des IFOs
- Tests extensifs en phase EQM, 'best effort' en phase (P)FM

Principe:

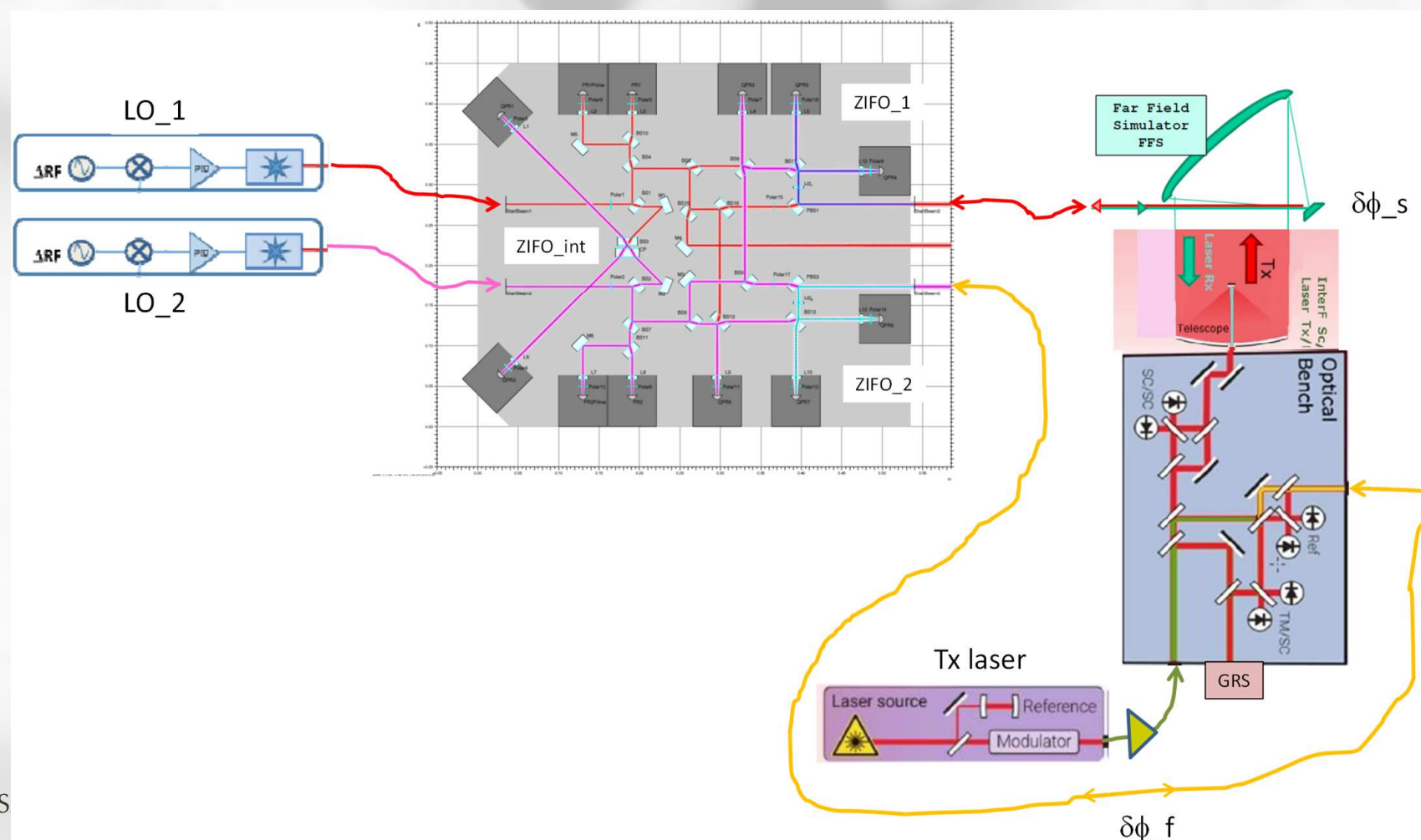
- mesures internes OB + non-réciprocité des liens fibrés avec un banc de mesure externe
- Ré-utilisation du banc ZIFO en cours de développement

Défis techniques

- Environnement de test stable (en particulier température), sous vide
- Maîtrise de la lumière parasite (notamment dans les fibres)

A faire

- Dimensionnement complet, évaluation des performances
 - En particulier en lien avec les équipes en charge du GRS
- Intégration du banc et méthodologie de tests, spécifications mécaniques, etc.
- Combinaison avec FF-OGSE en raison du FFS ?



Test de performances: SL-OGSE

SL-OGSE : Straylight Optical ground Support Equipment

Objectifs:

- Mesure de la lumière parasite générée dans le MOSA et des contributeurs
- Evaluation de l'effet de la contamination particulaire (retro-diffusion du telescope notamment), des reflexions parasites des structures
- Influences sur les phases et amplitudes mesurées

Principe:

- Utilisation d'une source laser avec une dérive temporelle linéaire en fréquence
- -> l'amplitude du signal d'interférence dû à la lumière parasite est périodiquement variable
- -> la transformée de Fourier du signal permet de récupérer l'amplitude de la lumière parasite et son lieu de production

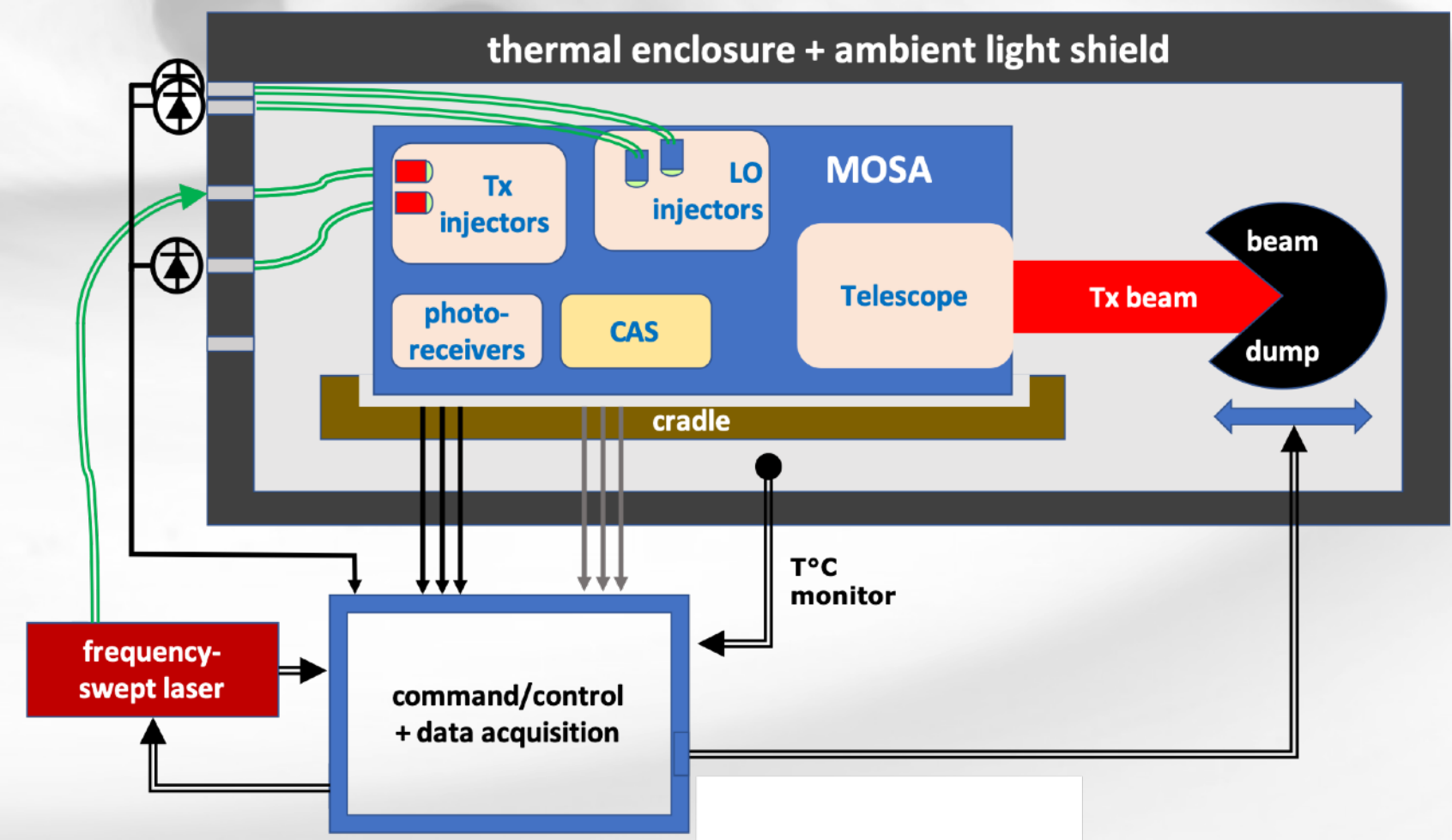
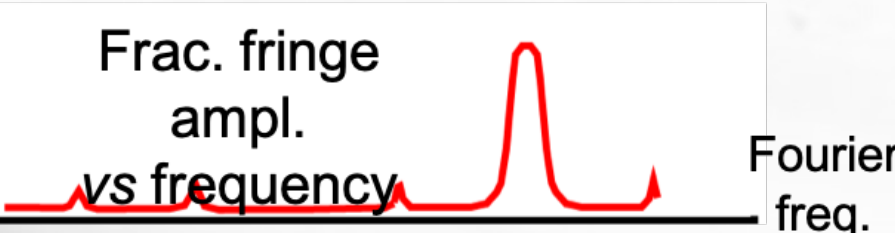
Défis techniques:

- Gestion de la lumière parasite 'interne' et du beam dump
- Niveau de bruit de fond de la mesure
- Linéarité de la vobulation de fréquence laser
- —> Travaux menés par M. Lintz



$$s(t) \approx \epsilon \sin\left(2\pi \frac{2d}{\lambda}\right)$$

$$\approx \epsilon \sin\left(2\pi \frac{2d}{c}(\nu_0 + \gamma \cdot t)\right)$$



Prototypage bancs AIVT: MIFO/ZIFO

Optical Demonstrator for AIVT

Purpose

- Development of an ultra-stable optical bench for demonstrating the on-ground characterisation capabilities

Goals

- Pathlength stability of $\sim 10 \text{ pm}/\sqrt{\text{Hz}}$ in [10 mHz:1 Hz]
- Set up collaborations with private companies on key technologies (e.g. optical contacting and ultra-stable mechanical designs)
- Organise the French community in view of the development of the MOSA GSEs
- Identify and quantify the main noise sources in a relevant environment
- Characterisation and impact on measurements of typical integration facilities environment
- Build the expertise on the full acquisition chain, from laser source to acquisition and command/control
- Evaluate the complexity (+cost, duration, etc) of MOSA performance tests

2 steps approach

- 'Metallic' bench (MIFO) with an invar base plate
 - Integrated and tested in a 'lab' vacuum chamber
 - Validation of the mounting and tuning procedures, acquisition chain, analysis tools and performance model
 - Final results expected end 2021
- Zerodur bench (ZIFO) with optically contacted components
 - Designed and integrated by Winlight (except photo receivers and injectors)
 - Tested and characterised in a vacuum chamber representative of AIVT environment
 - Final results expected end 2022

French Institutes involved in LISA AIVT and OGSEs demonstrators

CNES

-  Financial and engineering support, project management

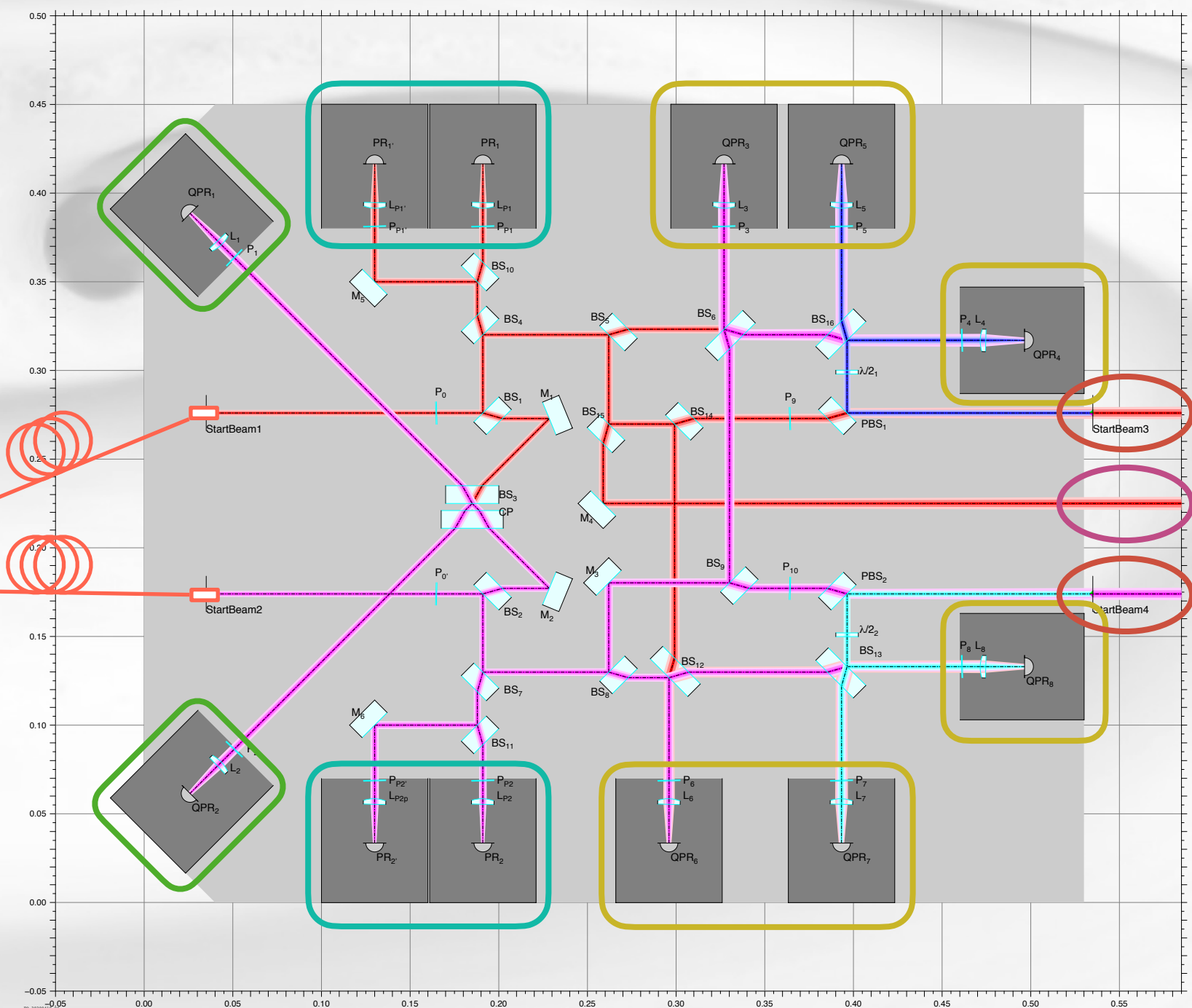
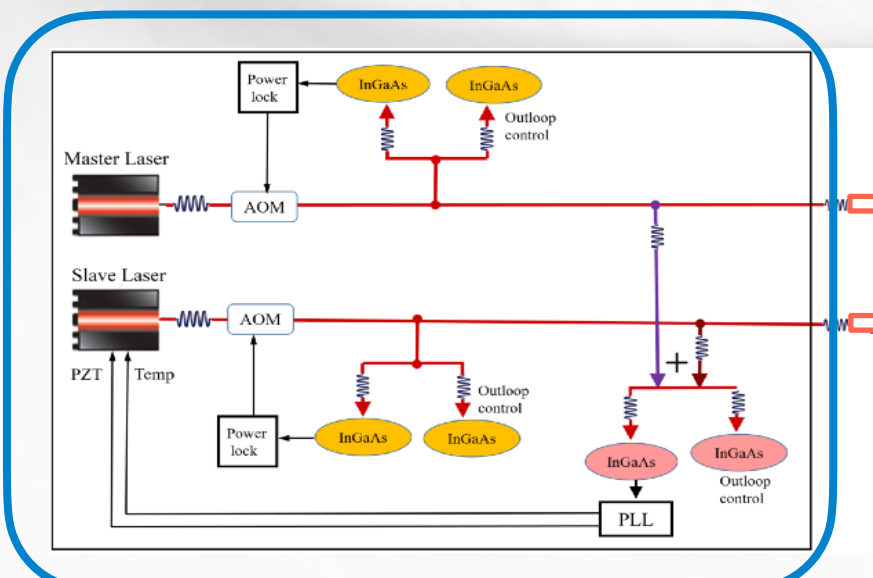
9 research labs :

-  APC, CNRS/Université de Paris
-  CEA/IRFU, Saclay
-  SYRTE, CNRS/Obs. de Paris
-  IP2I, CNRS, Lyon
-  CPPM, CNRS/Université Aix-Marseille
-  LAM, CNRS/Université Aix-Marseille
-  Fresnel Institute, CNRS/Université Aix-Marseille
-  ARTEMIS, Obs. de la Côte d'Azur / Université de Sophia Antipolis
-  L2IT, CNRS/Université Paul Sabatier

Optical design

Common design MIFO/ZIFO

- Heterodyne interferometry (100 kHz - 25 MHz)
- Power monitoring
 - In-loop and out-of-loop
- Equal arm-length IFO
 - Reference measurements, remove differential fibre OPL noise
- 2 unequal (~20 cm) arm-length IFOs
 - Evaluate bench stability and common-mode rejection (e.g. residual freq. noise & thermal)
- Input/output ports for connexion to an external bench
 - Phase reciprocity measurements
- Bench tilt stability monitoring



 Developed by SYRTE/OBSPM (Paris)

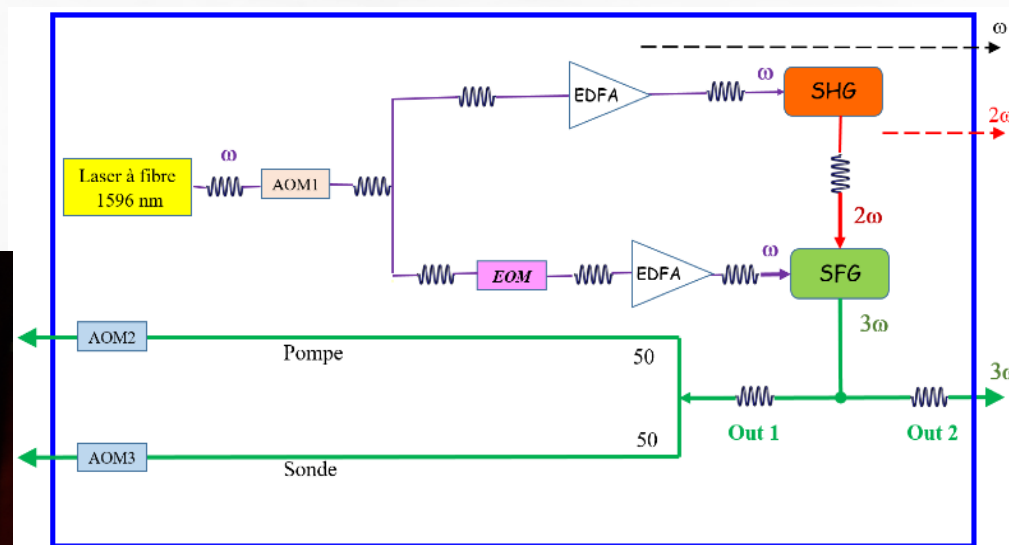
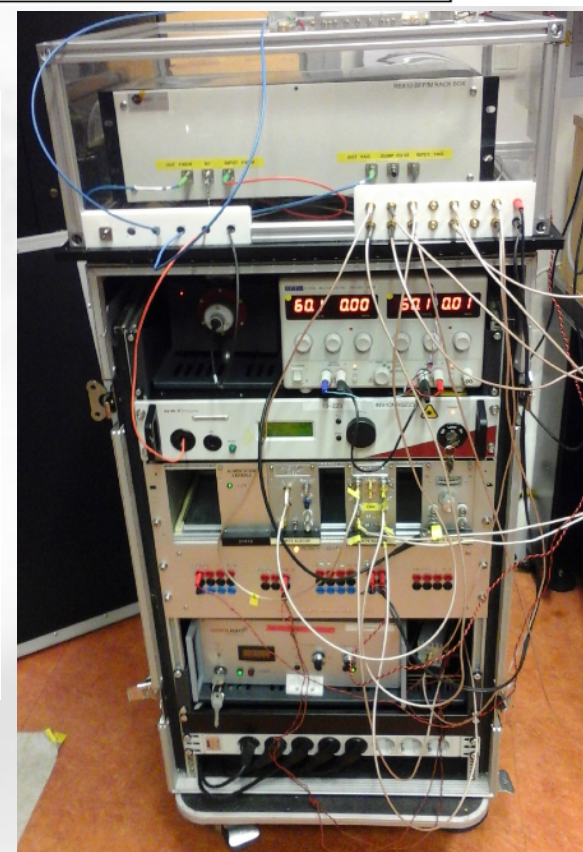
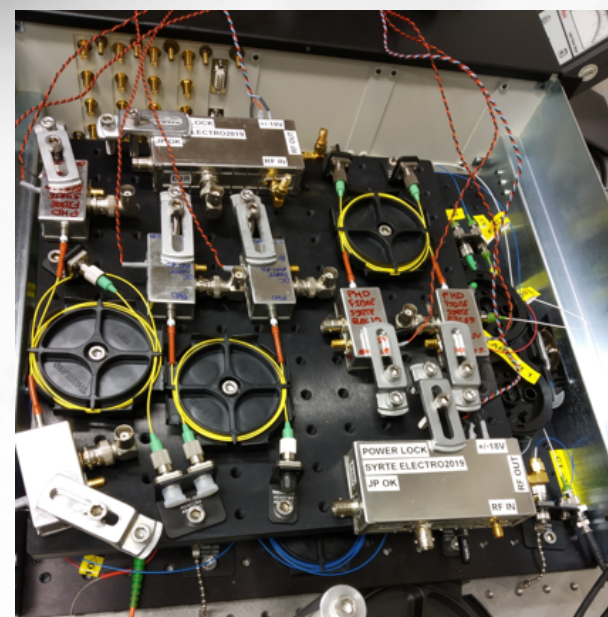
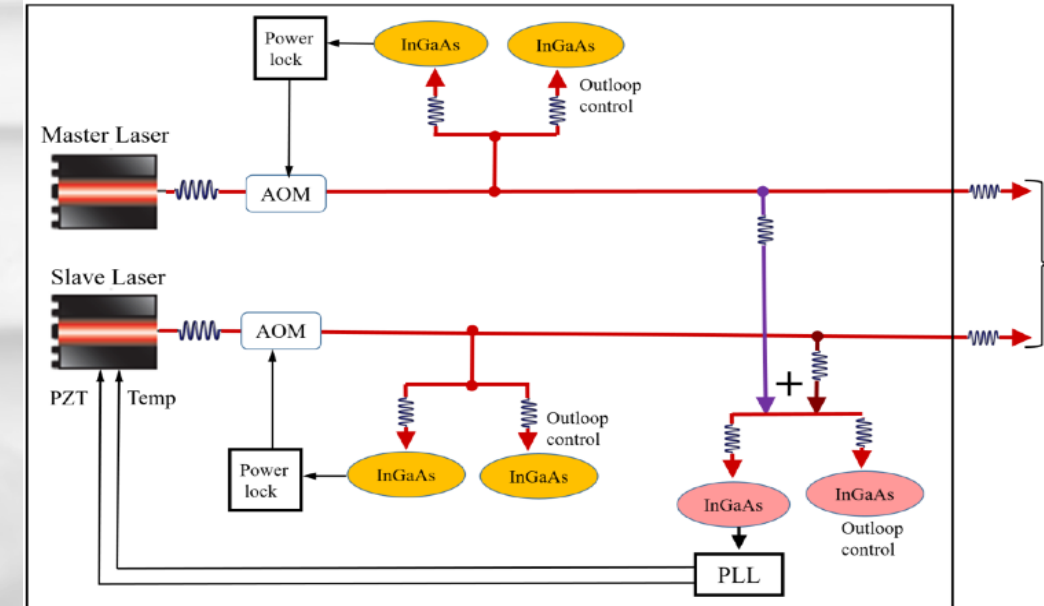
 2 steps development

 Step 1 : phase locked lasers

-  1064 nm laser sources (fibered)
-  Frequency offset : 100 kHz - 25 MHz (tuning slope up to 10 kHz/s)
-  PLL bandwidth >30 kHz
-  Power stabilised

 Step 2 : freq. stabilised on iodine

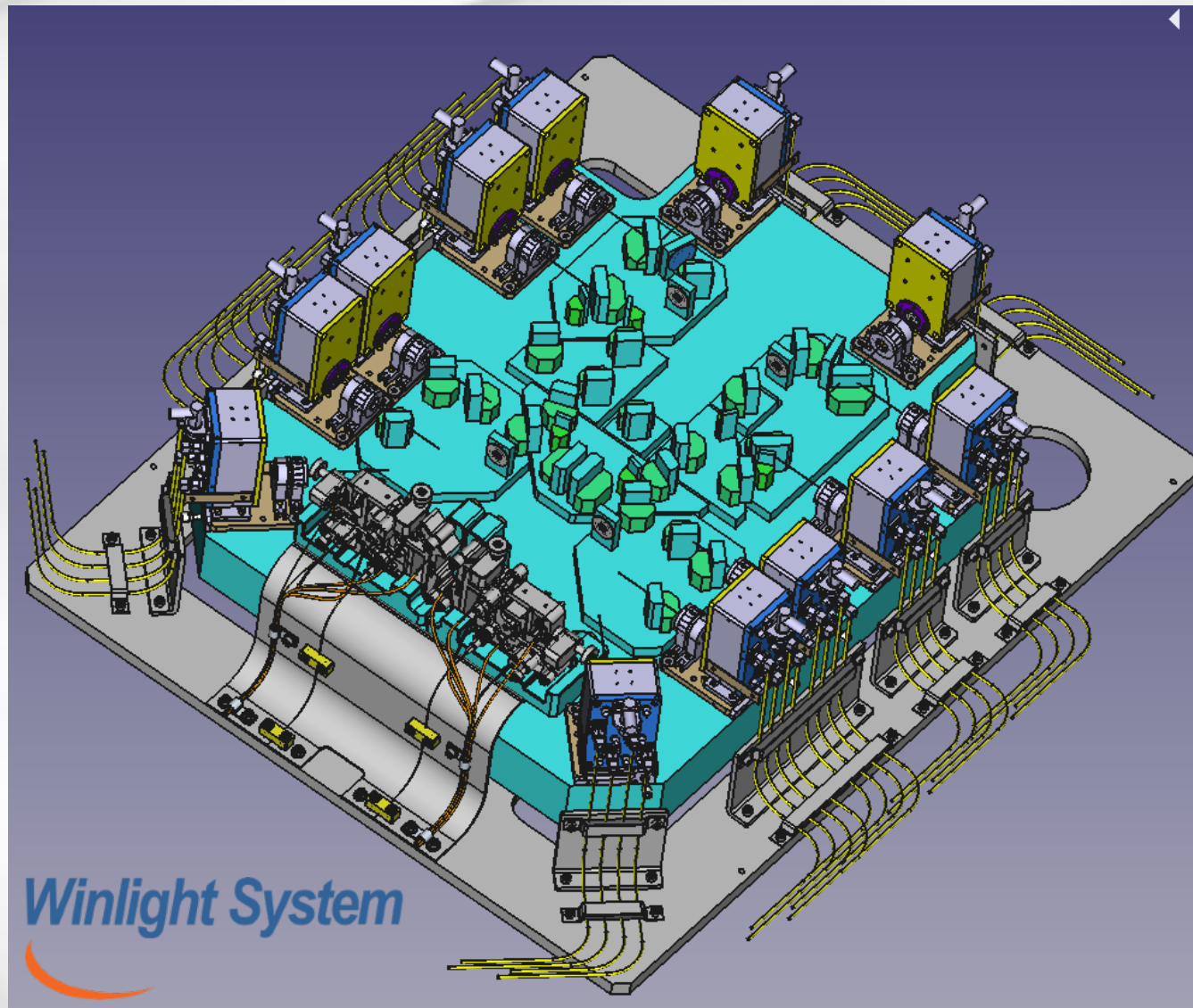
-  External reference based on triple telecom laser and iodine cell
-  Expected noise residuals <30Hz/ $\sqrt{\text{Hz}}$ in the LISA band



Optical benches

ZIFO

- Zerodur base plate + optically contacted elements
- designed by Winlight Systems



MIFO

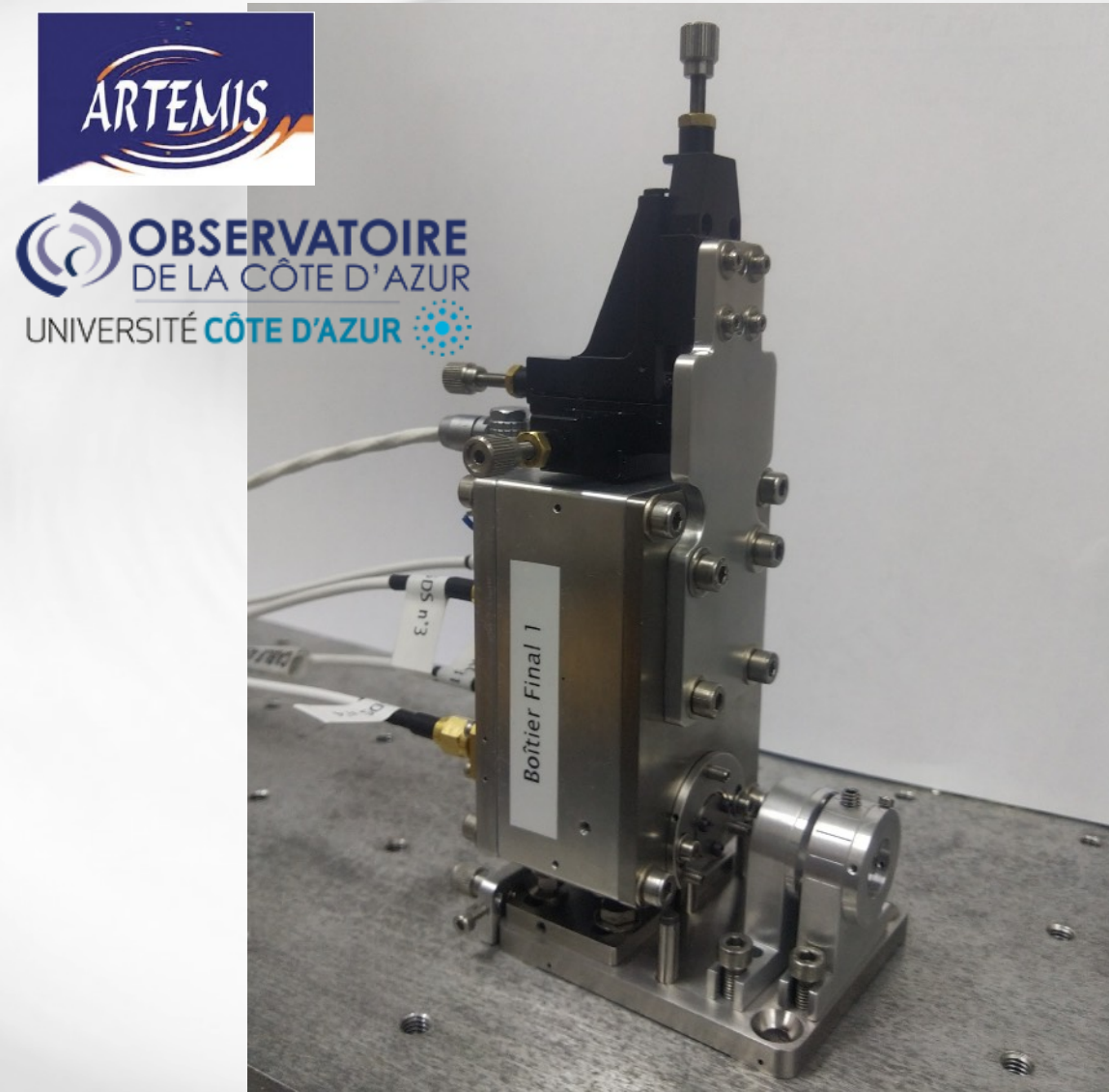
- Invar base plate + COTS optical mounts
- designed and manufactured at the APC



Photoreceivers & Injectors

Photoreceivers

- Quadrant (1 mm) and single (2 mm) photo receivers



Fiber injectors

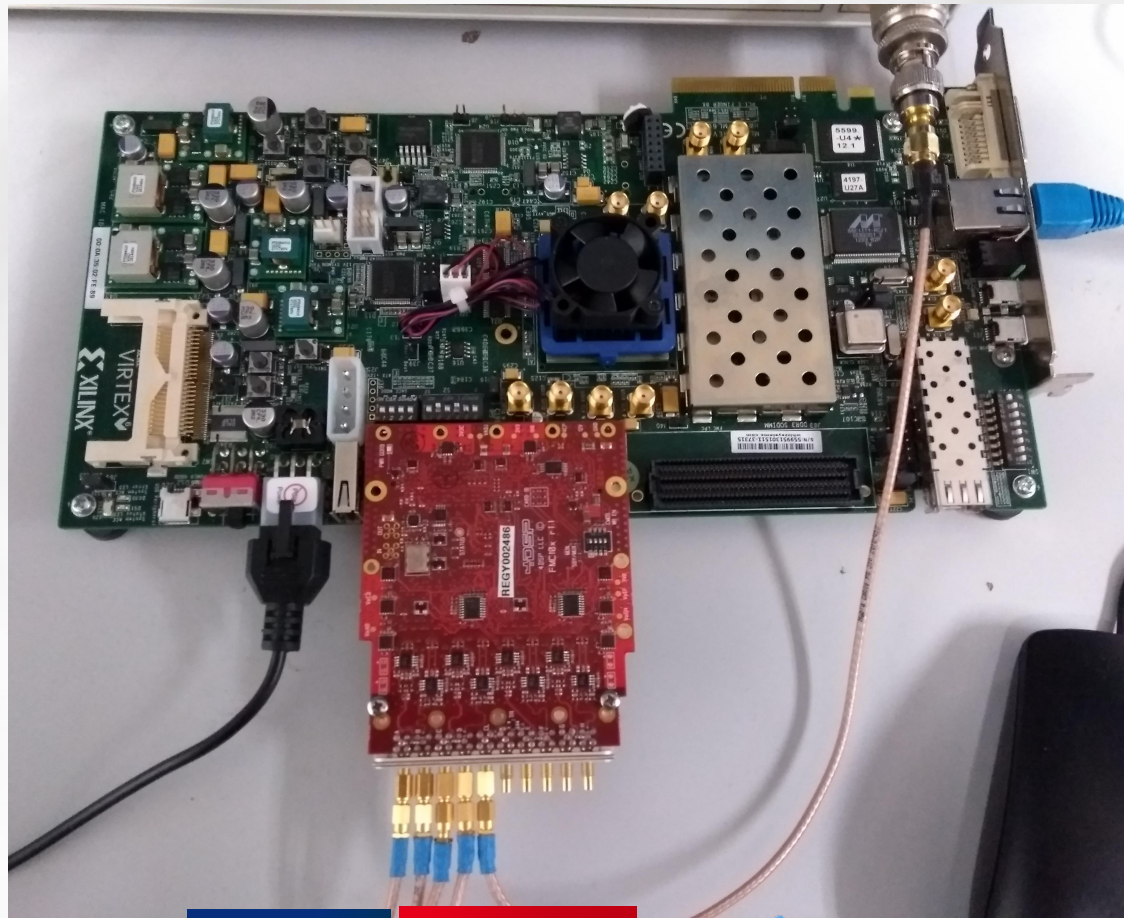
- 4 DoF
 - +/- 0.5 mm / < 30 nm step
 - +/- 10 mrad mm / < 0.7 µrad step
- Set-and-forget actuations (with PZT)



Phasemeter & Command/Control

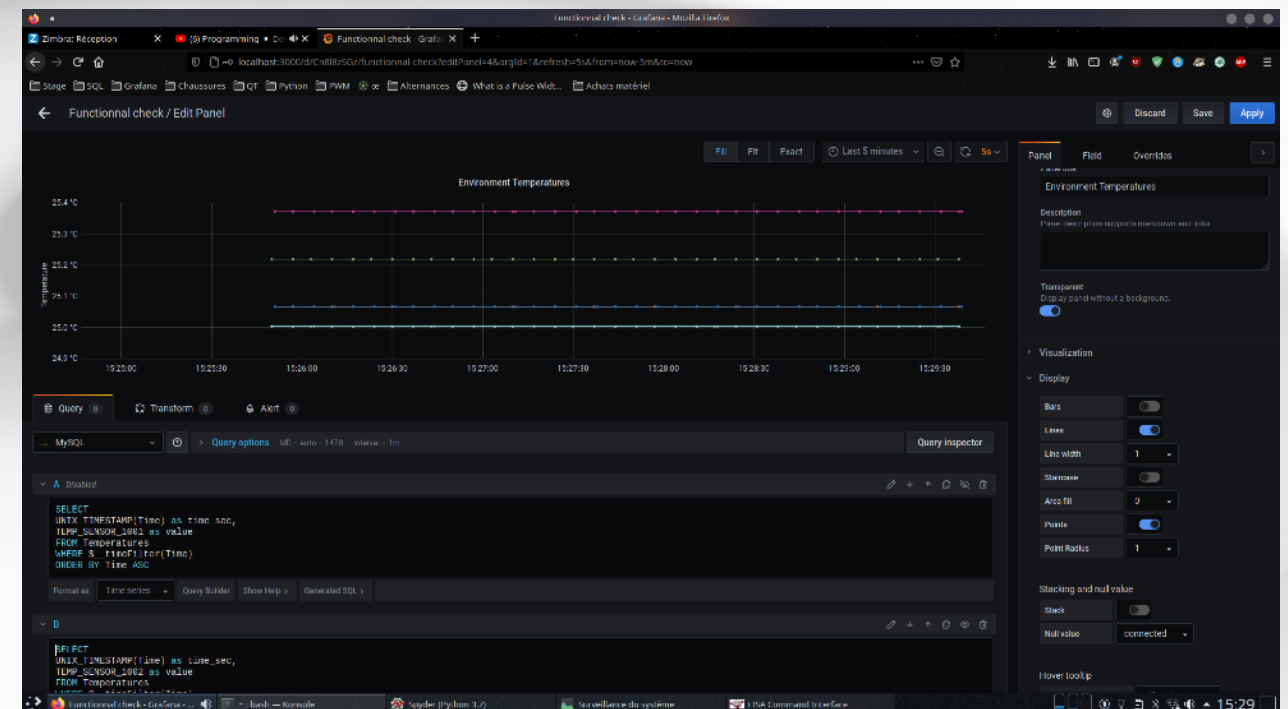
Phasemeter

- 8-channels phase-meter
- Based on COTS
 - Original design (SW+HW) from the AEI
- Being upgraded for new ADC & FPGA boards and MIFO/ZIFO specific needs



Command/control

- Centralised interface for monitoring and control of the system
 - Phasemeter outputs, Temperatures, power levels, actuators, heaters, alerts, etc
- Open-source software suite
 - Grafana (visualisation)
 - Python (+C) for low-level communications and processing



Test infrastructures

- MIFO/ZIFO to be tested in clean room / vacuum chamber

- MIFO tested at the APC

- 'lab' vacuum tank
 - $\sim 1.1 \times 1.1 \times 0.5$ m
 - 'Low vacuum' ~ 0.1 mbar
 - ISO8 clean room

- ZIFO tested at the LAM

- Large vacuum tank (ERIOS)
 - $\sim \varnothing 4 \times 6$ m
 - Representative of infrastructure required for the MOSA
 - HV $\sim 10^{-6}$ mbar
 - Inner bench on a 10t seismic mass
 - decoupled from the building
 - ISO 7/8 clean room



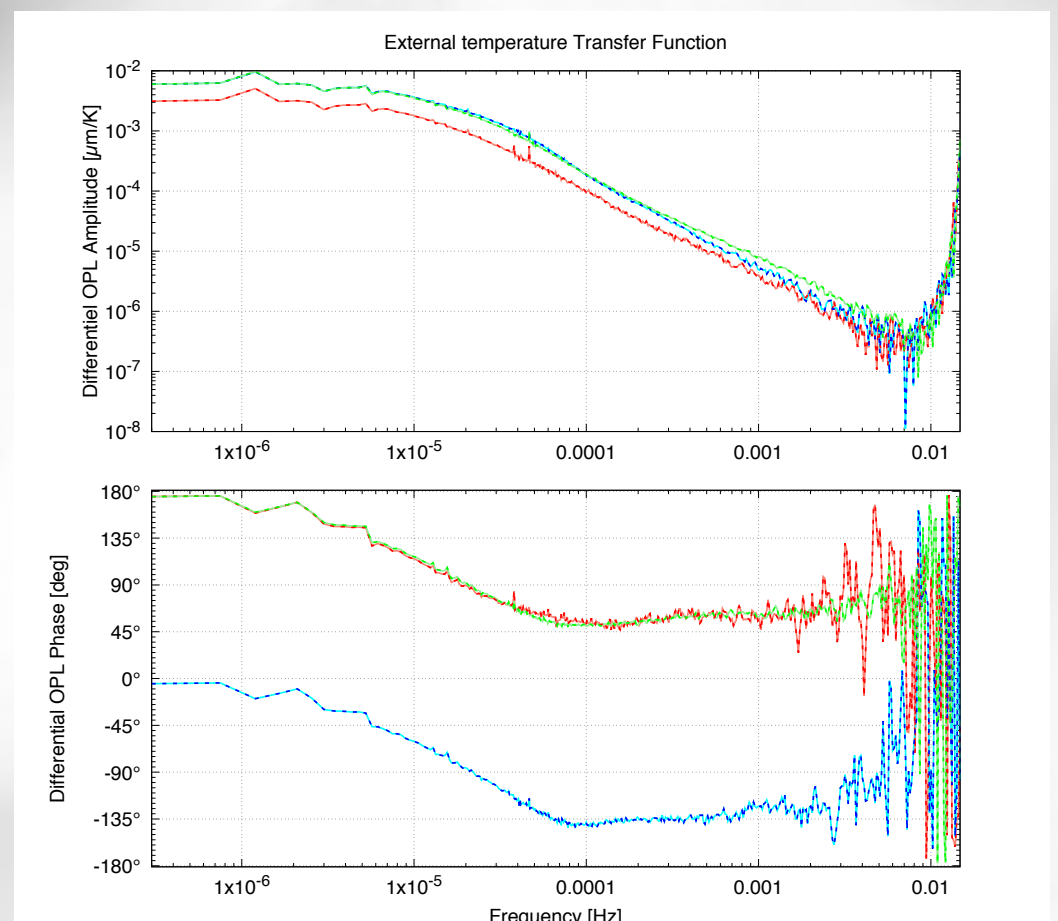
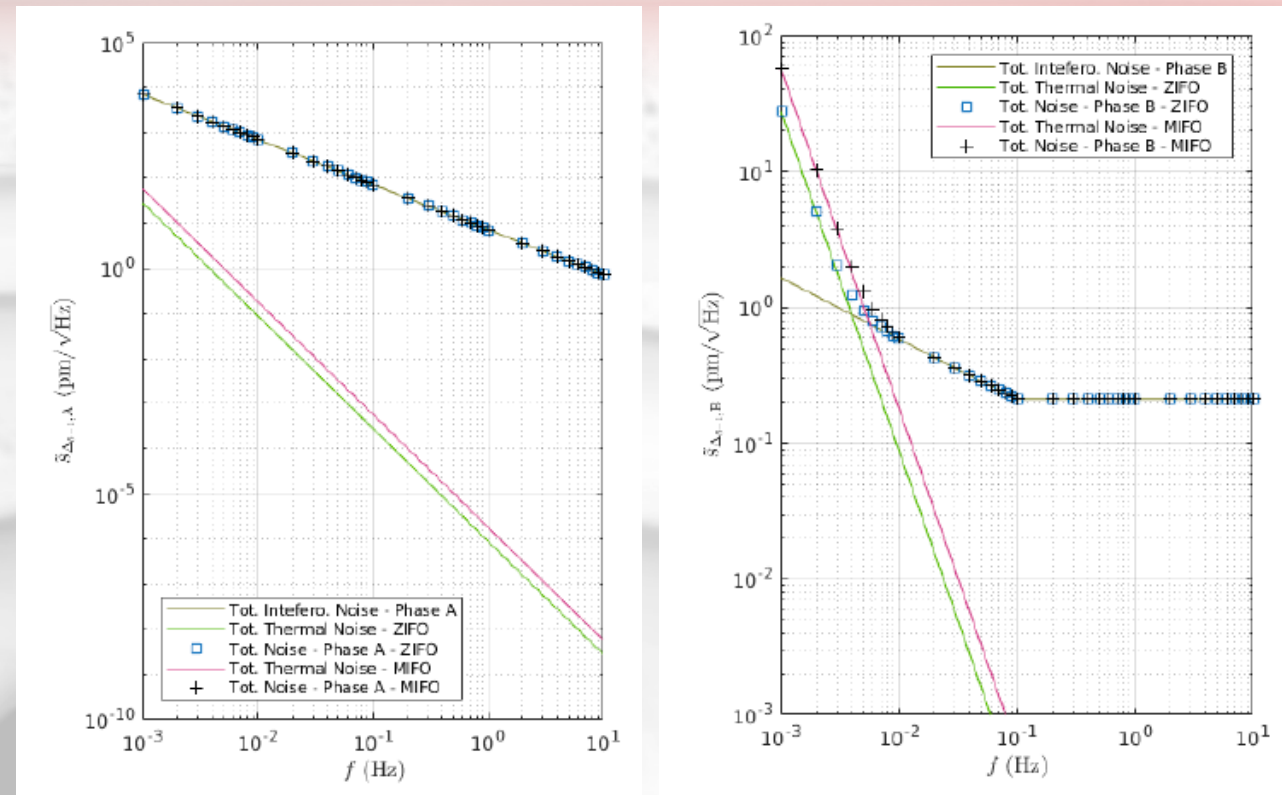
Performance model

Detailed performance modelling:

- Used to identify main source contributors and interpret the results

- Partly based on the LISA performance model
 - Freq. noise, shot noise, RIN, etc.

- Simulations on-going for integrating:
 - TTL effects
 - Thermo-elastic effects and corresponding Temp to OPL transfer functions
 - Straylight and cross-talks contributions



Discussions